

# Prvky mikroprocesorového systému řady 3000

ING. TOMÁŠ GUCKÝ

Článek informuje potenciální uživatele o připravovaných mikroprocesorových obvodech TESLA řady MH3000. Definuje základní pojmy a popisuje funkce jednotlivých prvků. Navazující článek bude věnován metodice aplikací s uvedenými obvody.

## Základní pojmy

Ústřední jednotkou soudobých elektronických systémů na zpracování informace je zpravidla procesor, doplněný příslušnými vstupy, výstupy a pamětí. Procesorem rozumíme tu část systému, která provádí hlavní výpočetní operace s daty podle zadaného programu.

Zavedením programovatelných číslových obvodů velké integrace se tato hierarchie pojmu posouvá z oblasti systémů do oblasti dílčích jednotek systémů. Jako mikroprocesor označujeme procesor sestávající z jednoho nebo několika pouzder obvodu LSI. Jeho prioritní aplikací je mikropočítac, kterým v současných systémech řeší dílčí úlohy zpracování dat v jednotkách reálnováných dříve jednoúčelovou logikou.

Zatímco unipolární polovodičové technologie umožňují integrovat standardně 8 bitový procesor v jednom pouzdře, tradiční bipolární technologie tuto možnost neposkytuje. Nevýhodu nižšího stupně integrace však vyvažují vyšší operační rychlosť a přizpůsobitelností aplikaci.

Bipolární mikroprocesory sestávají zpravidla z mikrogramovaného řadiče a z operační jednotky, složené z obvodově totožných rezů. Mikrogramování umožňuje aplikátorovi volbu optimálního souboru instrukcí, přizpůsobeného řešenému problému. Rezová struktura dovoluje volit šířku toku dat procesorem podle potřeby aplikace pouhým zařazením zvoleného počtu obvodů. Na obr. 1 je naznačena struktura takového mikroprocesoru a jeho vztah k spolu pracujícím jednotkám v nadřazeném systémovém celku. V tabulce 1 jsou definovány některé pojmy, dále v článku používané.

## Architektura mikroprocesorového systému řady 3000

Z možnosti použití technologie STTL a ze snahy po minimalizaci počtu typů vyplýnula potřeba realizace následujících obvodů:

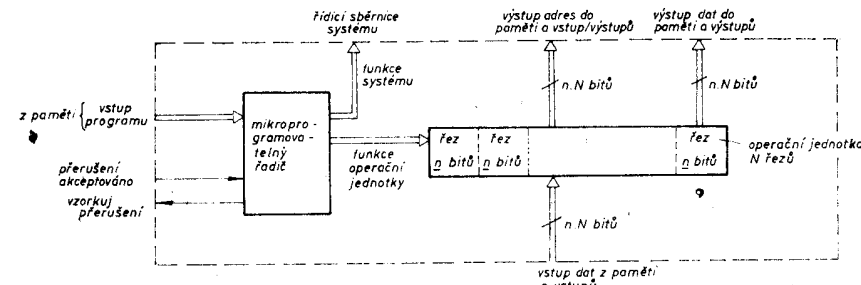
- MH3001 — mikrořadič, obvod řízení průběhu mikrogramů,
- MH3002 — dvoubitový řez operační jednotky,
- MH3003 — rychlý přenosový obvod; realizuje aritmetický přenos 16 bitového součtu,
- MH3205 — dekódér 1 z 8 pro rychlé prepínání paměti, vstupu, výstupu,
- MH3212 — osmibitová vstupní/výstupní brána,
- MH3214 — řadič priority přerušení,
- MH3216 (26) — čtyřbitový neinvertující (invertující) budík sběrnice.

vlastnosti. Základní uspořádání procesoru z obvodu řady 3000 je naznačeno na obr. 2. Musíme rozlišovat jeho funkce na systémové úrovni a na vnitřní úrovni, kterou budeme označovat mikro.

Procesor vykonává systémové operace podle instrukcí programu, které čte z paměti ve formě strojového kódu na vstupní sběrnici M. Provádí operace s daty vyžádanými ze vstupních sběrnic M, I, nebo z vnitřních registrů operační jednotky. Výsledek operace umisťuje do cílového registru operační jednotky nebo na výstupní sběrnici A jako vypočtenou adresu nebo na sběrnici D jako vypočtená data. V příslušných fázích provedení

fázové funkce, umožňující styk procesoru s okolím nebo zlepšení některých jeho

hlavními prvky systému jsou obvody 3001 a 3002. Ostatní vytvářejí doplňkové funkce, umožňující styk procesoru s okolím nebo zlepšení některých jeho



Obr. 1. Základní struktura typického bipolárního mikroprocesoru

Tab. 1. Význam základních pojmu

Pojem	Význam	Poznámka
<b>Řadič</b>	jednotka, která řídí chod (mikro) počítače nebo jeho části podle instrukci programu	
<b>Mikrogramování</b>	způsob návrhu práce řadiče	
<b>Mikrořadič (mikrogramová jednotka)</b>	část mikrogramovaného řadiče, která řídí jeho chod podle instrukci mikrogramu	Micropogramm Control Unit
<b>Řídicí pamět (pamět mikrogramů)</b>	část mikroprogramového řadiče, určená k trvalému uchování mikrogramu	Control Memory
<b>Fáze</b>	jeden ze stavů řadiče během provádění instrukce	
<b>Mikrooperace</b>	činnost řadiče (nebo spolupracující jednotky) během jedné fáze	
<b>Mikroinstrukce</b>	kódovaný předpis pro provádění mikrooperace	
<b>Operační jednotka</b>	část (mikro) počítače, která provádí operace	
<b>Aritmetická jednotka</b>	část oper. jednotky, která provádí operace aritmetické, logické a posuvy	Arithmetic-Logic Unit
<b>Pole registrů</b>	část oper. jednotky pro přechodné památnování operandů a výsledků operací a pro provádění operací přesunutí; některé registry mohou mít spec. funkce	Register Array
<b>Střádač</b>	registr, v němž se vytvoří výsledek operace aritmetické jednotky	Accumulator
<b>Operace</b>	vytvoření výsledků z jednoho nebo více údajů (operandů) podle určených pravidel	
<b>Strojová instrukce (stroj. kód)</b> <sup>1)</sup>	(kódovaný) předpis provedení jedné operace (mikro) počítače; obvykle sestává z oper. znaku a cílového výrazu	Computer Instruction (Code)
<b>Operační znak (operač. část instr.)</b> <sup>1)</sup>	posloupnost symbolů, určující typ operace prováděné s operandy	Operation Code (Operation Part)
<b>Cílový výraz (adresová část instrukce)</b> <sup>1)</sup>	posloupnost symbolů, jímž se jako hodnota přiřazuje adresa (např. operandu skoku umístění výsledku ap.)	Designational Expression (Adress Part)
<b>Přerušení</b>	dodášné potlačení prováděné posloupnosti (mikro) instrukcí následované plněním jiné nezávislé posloupnosti nebo návratem k dřívě potlačené	Interrupt
<b>Návštěvi operační jednotky</b>	jednobitový signál charakterizující nebo ovlivňující výsledek operace	Flag; u obv. 3001 FI-vstupní FO-výstupní
<b>Indikátorový registr</b>	jednobitový registr nastavitelný do definovaného stavu, který může záviset na výsledcích předchozích operací	u obv. 3001 klop. obvody C (pamatuje přenos); z (pamatuje nulový výsledek)

Poznámka: <sup>1)</sup> Pojem uvedený v závorce označuje kódovaný popis předchozího pojmu.

instrukce generuje řídící signály na sběrnici  $R$ . Tyto signály řídí vybavení, zápis a čtení paměti nebo vstupních/výstupních bran systému.

Funkce prvků procesoru ve fázích provádění jedné instrukce systémového programu budeme chápát jako mikrofunkce, vyjadřující činnost a vzájemný vztah operační jednotky, řadiče a systému. Tyto mikrofunkce popisujeme tzv. mikroinstrukcemi. Konečná sekvence mikroinstrukcí — mikroprogram — popisuje provedení jedné instrukce systému.

Mikroprogram je zpravidla započat určením adresy počáteční mikroinstrukce. Tu určuje řadič dekódováním tzv. primární části operačního znaku systémové instrukce, přivedené na sběrnici  $PX$ . Současně se tzv. sekundární část operačního znaku ukládá do vnitřního registru programu ( $PR$ ) obvodu 3001, odkud může být v dalších fázích provádění instrukce dekódována.

Vypočtenou startovací adresou mikroprogramu (registrována sběrnice  $MA$ , sběrnice  $MA$ ) je adresováno paměťové místo v tzv. řidiči paměti  $CM$ , nazývané též paměť mikroprogramů. Na výstupu řidiči paměti se na několika oddělených sběrnicích objeví mikrooperátor kódy právě čtené mikroinstrukce. Stav jednotlivých sběrnic, odpovídajících jednotlivým polím mikroinstrukce, určí mikrooperace, které mají být v probíhající fázi provedeny. Například stav sběrnice  $F$  určuje mikrooperaci všech paralelních řezů 3002 operační jednotky. Stav sběrnice  $K$  definuje konstantu pro zvolenou mikrooperaci. Stav sběrnice  $FC$  určuje způsob převzetí a nastavení návěsti mezi operační jednotkou a řadičem. Stav sběrnice  $AC$  určuje způsob výpočtu adresy následující mikroinstrukce. Stav řidiči sběrnice  $R$  určuje další mikrofunkce procesoru ve vztahu k řízení systému, podle volby aplikátora.

Další průběh mikroprogramu závisí obecně na obsahu příslušné systémové instrukce, kterou realizuje. Zpravidla v úvodní fázi čte cílový výraz ze sběrnice  $M$  a dokončuje dekódování operačního znaku z registru  $PR$ , v prováděcí fázi čte operandy, provádí operaci, umístí výsledek, změní obsah programového čítače apod.

V každém taktu hodin mikrořadiče je čtena a provedena jedna mikroinstrukce. Ukončení mikroprogramu je hlášeno obvodem 3001 na výstupu  $ISE$  za účelem případné obsluhy požadavku přerušení běžícího programu.

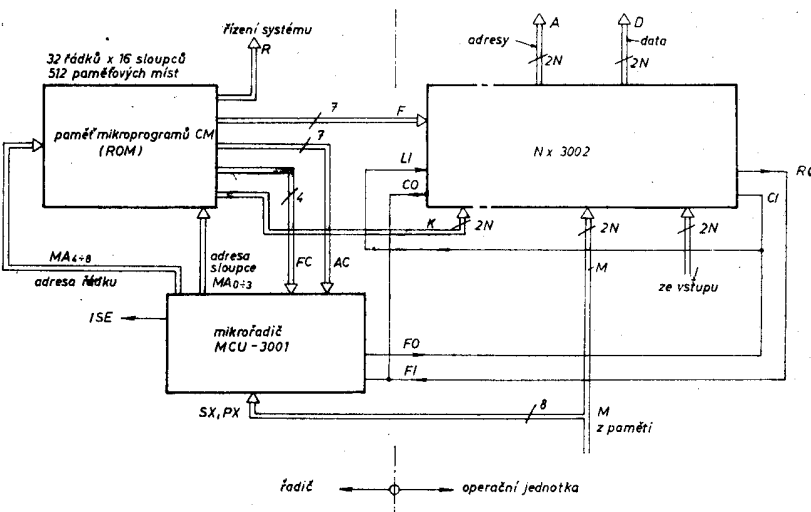
Délka paralelně zpracovávaného slova dat (tj. šířka vstupních/výstupních sběrnic  $M$ ,  $I$ ,  $K$ ,  $A$ ,  $D$ ) je volitelná uživatelem v násobku  $2 \times$  počet pouzder 3002. Aritmetický přenos mezi jednotlivými řezy se řídí postupně. To může mít omezuječí vliv na rychlosť provedení aritmetických operací u procesorů s dlouhým slovem. Přidání rychlého přenosového obvodu 3003 se závislost na délce slova vylučuje. Dosažitelná rychlosť operační jednotky i řadiče je řádu 100 ns a bude podrobně diskutována v aplikačním popisu. Tokový a časový diagram funkcí procesoru je naznačen na obr. 3. Úvodní popis nezahrnuje pochopitelně všechny vlastnosti použitých prvků, ale dává jen počáteční představu o jejich součinnosti. Podrobnější charakteristika prvků následuje.

### Mikrořadič MH3001

Obvod má dvě základní funkce:

- výpočet adresy příští mikroinstrukce,
- prevzeti návěsti operační jednotky do indikátorových registrů a generování výstupních návěstí.

*Tabulky 2, 3* definují obě zmíněné funkce ve vztahu ke stavu řidiči sběrnice  $AC$



Obr. 2. Základní zapojení prvků řady 3000

Tab. 2. Funkce pro nastavení adresy příští mikroinstrukce MH 3001

druh mikroinstrukce	popis mikrofunkce	symbol	LD	stav vstupů $AC_{t+1}$ v taktu $t$	adresa příštího řádku ( $t+1$ )	adr. příštího sloupce ( $t+1$ )
nepodmíněný skok	skok ve stávajícím sloupci	JCC	0	0 0 d <sub>4</sub> d <sub>3</sub> d <sub>2</sub> d <sub>1</sub> d <sub>0</sub> d <sub>4</sub> d <sub>3</sub> d <sub>2</sub> d <sub>1</sub> d <sub>0</sub> m <sub>3</sub> m <sub>2</sub> m <sub>1</sub> m <sub>0</sub>	MA <sub>8</sub> MA <sub>7</sub> MA <sub>6</sub> MA <sub>5</sub> MA <sub>4</sub> MA <sub>3</sub> MA <sub>2</sub> MA <sub>1</sub> MA <sub>0</sub>	
	skok na nultý řádek	JZR	0	0 1 0 d <sub>3</sub> d <sub>2</sub> d <sub>1</sub> d <sub>0</sub> 0 0 0 0 0 d <sub>3</sub> d <sub>2</sub> d <sub>1</sub> d <sub>0</sub>		
	skok ve stávajícím řádku	JCR	0	0 1 d <sub>3</sub> d <sub>2</sub> d <sub>1</sub> d <sub>0</sub> m <sub>8</sub> m <sub>7</sub> m <sub>6</sub> m <sub>5</sub> d <sub>3</sub> d <sub>2</sub> d <sub>1</sub> d <sub>0</sub>		
	skok ve sloupci/ybavení PR výstupu/synchro	JCE	1	1 1 0 d <sub>3</sub> d <sub>2</sub> d <sub>1</sub> d <sub>0</sub> m <sub>8</sub> m <sub>7</sub> d <sub>2</sub> d <sub>1</sub> d <sub>0</sub> m <sub>3</sub> m <sub>2</sub> m <sub>1</sub> m <sub>0</sub>		
podmíněný skok - dvojhodnotová větvění podle F,C,Z	skok s testem střadače F	JFL	0	1 0 0 d <sub>3</sub> d <sub>2</sub> d <sub>1</sub> d <sub>0</sub> m <sub>8</sub> d <sub>3</sub> d <sub>2</sub> d <sub>1</sub> d <sub>0</sub> m <sub>3</sub> 0 1 f		
	skok s testem indikátoru C	JCF	0	1 0 1 0 d <sub>2</sub> d <sub>1</sub> d <sub>0</sub> m <sub>8</sub> m <sub>7</sub> d <sub>2</sub> d <sub>1</sub> d <sub>0</sub> m <sub>3</sub> 0 1 c		
	skok s testem indikátoru Z	JZF	0	1 0 1 1 d <sub>2</sub> d <sub>1</sub> d <sub>0</sub> m <sub>8</sub> m <sub>7</sub> d <sub>2</sub> d <sub>1</sub> d <sub>0</sub> m <sub>3</sub> 0 1 z		
	skok s testem registru PR (16 hodnot)	JPR	0	1 1 0 0 d <sub>2</sub> d <sub>1</sub> d <sub>0</sub> m <sub>8</sub> m <sub>7</sub> d <sub>2</sub> d <sub>1</sub> d <sub>0</sub> p <sub>3</sub> p <sub>2</sub> p <sub>1</sub> p <sub>0</sub>		
vícehodnotová větvění podle PX, SX, PR	skok s testem levých bitů PR (4 hodnoty)	JLL	0	1 1 0 1 d <sub>2</sub> d <sub>1</sub> d <sub>0</sub> m <sub>8</sub> m <sub>7</sub> d <sub>2</sub> d <sub>1</sub> d <sub>0</sub> 0 1 p <sub>3</sub> p <sub>2</sub>		
	skok s testem pravých bitů PR (4 hodnoty)	JRL	0	1 1 1 1 d <sub>2</sub> d <sub>1</sub> d <sub>0</sub> m <sub>8</sub> m <sub>7</sub> 1 d <sub>1</sub> d <sub>0</sub> 1 1 p <sub>1</sub> p <sub>0</sub>		
	skok s testem sběrnice PX (16 hodnot)	JPX	0	1 1 1 0 d <sub>2</sub> d <sub>1</sub> d <sub>0</sub> m <sub>8</sub> m <sub>7</sub> m <sub>6</sub> d <sub>1</sub> d <sub>0</sub> x <sub>9</sub> x <sub>8</sub> x <sub>5</sub> x <sub>4</sub>		
	přímé plnění X - MA (256 hodnot)	LD	1	libovolný stav 0 x <sub>9</sub> x <sub>8</sub> x <sub>7</sub> x <sub>6</sub> x <sub>5</sub> x <sub>4</sub>		

Legenda:  $d_0$  až  $d_7$  ..... stav příslušných vstupů AC v taktu  $t$ , určující částečně adresu MA v taktu  $t+1$   
 platné stav f.c.z ..... stav operační jednotky MA v taktu  $t+1$   
 $m_0$  až  $m_8$  ..... stav adresového registru MA v taktu  $t$   
 $p_0$  až  $p_3$  ..... stav registru PR v taktu  $t$   
 $f$ ,  $c$ ,  $z$  ..... stav střadače F a registrů C,Z v taktu  $t$  před příchodem týlové hrany CLK  
 $x_0$  až  $x_7$ ,  $x_4$  až  $x_7$  ..... stav sběrnice SX<sub>0</sub> až SX<sub>3</sub>, PX<sub>4</sub> až PX<sub>7</sub> v taktu  $t$

Tab. 3. Funkce pro nastavení návěsti MH3001

Popis funkce	Symbol	Typ funkce	Stav vstupů v taktu $t$				Stav registrů v taktu $t+1$
			FC <sub>4</sub>	FC <sub>3</sub>	FC <sub>1</sub>	FC <sub>0</sub>	
Nastavení indikátoru C, Z na f	SCZ	vstupní	—	—	0	0	f f
Nastavení indikátoru Z na f	STZ	vstupní	—	—	0	1	c f
Nastavení indikátoru C na f	STC	vstupní	—	—	1	0	f z
Indikátoru C, Z bez zmeny	HCZ	vstupní	—	—	1	1	c z
Naplň FO logickou 0	FF0	výstupní	0	0	—	—	$F_0 = 0$
Naplň FO obsahem indikátoru C	FFC	výstupní	0	1	—	—	$F_0 = C$
Naplň FO obsahem indikátoru Z	FFZ	výstupní	1	0	—	—	$F_0 = Z$
Naplň FO logickou 1	FF1	výstupní	1	1	—	—	$F_0 = 1$

f.....obsah střadače F v taktu  $t$  (je dán stavem vstupu FI v době čela CLK)  
 c, z ..obsah registrů C, Z v taktu  $t$

a FC, který určuje typ prováděné mikrooperace obvodu 3001.

*Tabulka 4* popisuje význam jednotlivých vývodů pouzdra obvodu, definuje vztah elektrického a logického signálu a ekvivalentní zátěž nebo zatížitelnost.

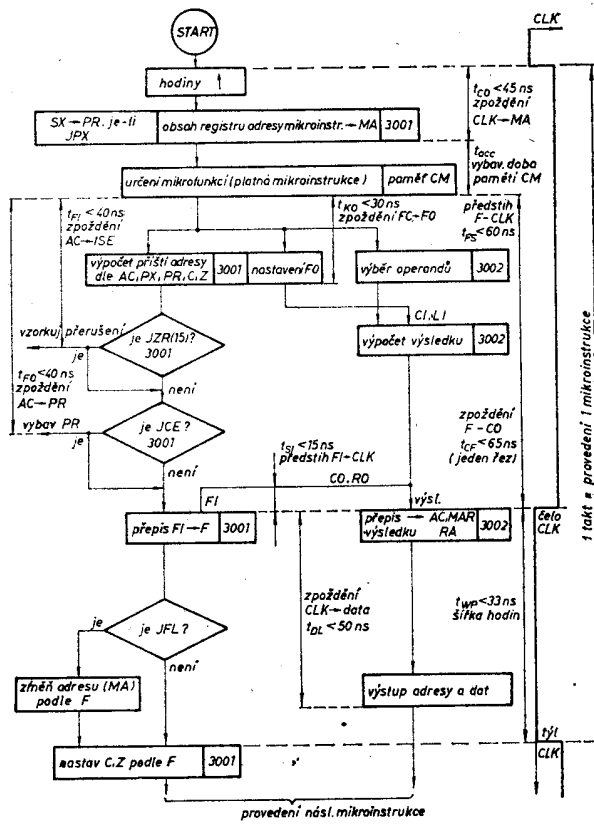
Funkční schéma — obr. 4. — sestává z:

- registru adresy a výstupních budičů

- sběrnice *MA*,
  - logiky výpočtu příští adresy,
  - registru programu *PR*,
  - návěstní logiky se střada

indikátorovými registry  $C$ ,  $Z$  a výstupním budičem návěsti  $FO$ .

Funkce obvodu počíná přepisem vyčtené adresy příští mikroinstrukce do



Obr. 3. Tokový a časový diagram funkci procesoru 3000

registru *MA* s týlovou hranou hodin *CLK*. Po ustálení výstupů řídící paměti se objeví na sběrnících *AC*, *FC* platný kód, určující mikrofunkci pro tento takt. S čelní hranou hodin je převzato návštěti operační jednotky ze vstupu *FI* do strádače *F* a může ještě proběhnout větvení mikroprogramu — nové určení adresy příští mikroinstrukce — jestliže byl zvolen skok podle návštěti — *JFL*. S týlovou hranou hodin se opakuje přepis adresy a současně je přepisován obsah strádače *F* do klopných obvodů *C* a nebo *Z*. Větvení podle nového obsahu *C*, *Z* je možné v následujícím taktu.

Nastavení adresy *MA* je možné také přímým přepisem obsahu sběrnice *PX*, *SX* s týlovou hranou hodin, je-li vstup *LD* ve stavu *H*. Výstup registru *PR* je zpřístupněn jen v případě funkce *JCE*, a současného stavu *H* na vstupu *EN*, jinak je ve stavu *H* (otevřené kolektory).

Výstup vzorkování přerušení *ISE* je ve stavu *H* jen v případě funkce *JZR* (15) — skoku na nultý řádek, 15. sloupec paměti *CM*. Vybavovací vstup *ERA* ve stavu *L* uvádí výstupy *MA4* až *MA8* adresy řádku do 3. stavu. Protože dosažení adresy příští mikroinstrukce je možné pouze podmíněným či nepodmíněným skokem, zavádí se pro lepší orientaci v mikrogramatu fiktivní organizace řídicí paměti *CM* jako matice s 32 řádky a 16 sloupců. Každá ze skokových funkcí uvedených v tab. 2 umožňuje definovat v poli *AC* jen část adresy řádku nebo sloupce. Pro ilustraci je na obr. 5 znázorněn skok z momentální na příští adresu pro některé stavy řídicí sběrnice *AC*. Obr. 6 pak uvádí některé významné dynamické parametry obvodu 3001.

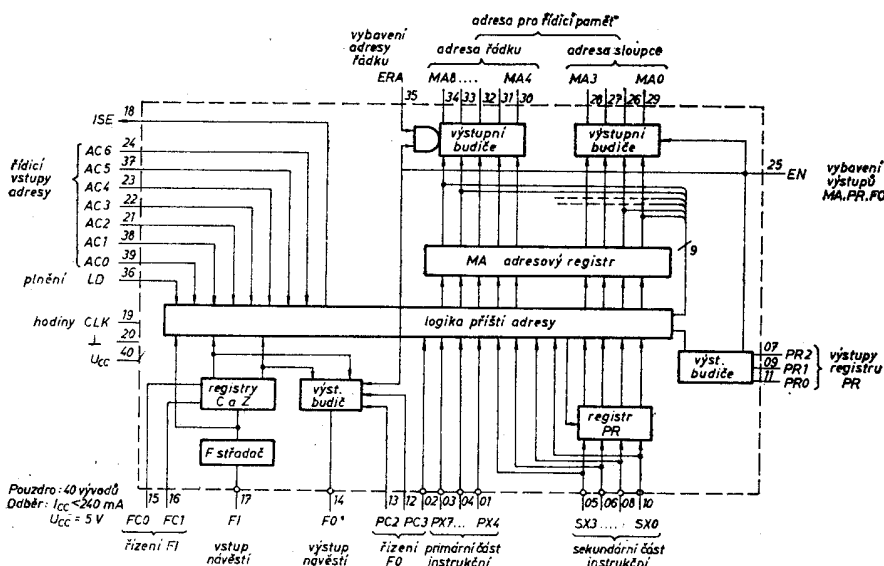
Tab. 4. Význam vývodů MH3001

Vývod	Číslo vývodu pouzdra	Vstup proudy $I_{IH}/I_{IL}$ [ $\mu\text{A}$ ]	Výstup. proudy $I_{OH}/I_{OL}/I_Z$ [mA]	Logický stav	Význam
				Elektrický stav	
$SX_0 \div SX_2$	10, 08, 06, 05	40/250	—	0 = H 1 = L	vstup sekundární části operačního znaku
$PX_4 \div PX_7$	01, 04, 03, 02		—	0 = H 1 = L	vstup primární části operačního znaku
$AC_0 \div AC_2$	39, 38, 21, 22,		—	0 = L 1 = H	vstupy řízení příslušné adresy
$FC_2 \div FC_5$	15, 16, 13, 12		—	0 = L 1 = H	vstupy řízení návěsti
$FI$	17		—	0 = H 1 = L	vstup návěsti
$LD$	36		—	0 = L 1 = H	vstup řízení přímého plnění MA ze sběrnice $PX, SX$
$EN$	25	80/500	—	0 = L 1 = H	vybavení výstupů $MA, PR, FO$ pro $EN = 1$
$ERA$	35	40/250	—	0 = L 1 = H	vybavení výstupů adresy řádky $MA_4 \div MA_1$ pro $ERA = 1$
$MA_0 \div MA_3$	29, 26, 27, 28	—	třístavový —1/10/0,1	0 = L 1 = H $EN = L \rightarrow Z$	výstup adresy sloupců 3. stav pro $EN = L$
$MA_4 \div M_8$	30, 31, 32, 33, 34	—	třístavový —1/10/0,1	0 = L 1 = $Z_4$ $EN \vee ERA = \rightarrow Z$	Adresy sloupců, 3. stav pro $EN \vee ERA = L$ .
$PR_0 \div PR_3$	11, 09, 07	—	otevřený kolektor —1/10/0,1	0 = L 1 = Z	výstup střídáče PR. Asynchronně vybaven při $EN = H$ a funkci $JCE$
$FO$	14	—	třístavový —1/10/0,1	0 = H 1 = L $EN = L \rightarrow Z$	výstup návěsti 3. stav pro $EN = L$
$ISE$	18	—	dvooustavový —1/10/—	0 = H 1 = H	hlášení vzorkující přerušení, asynchro. $ISE = H$ jen při funkci $JZR$ (15)
$CLK$	19	120/750	—	0 = L 1 = H	vstup hodin

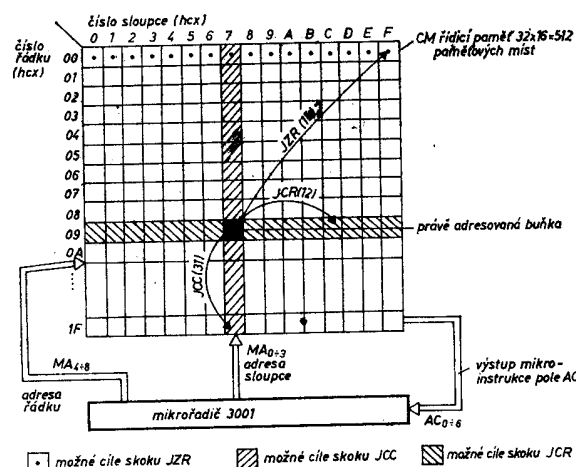
## Řez operační jednotky 3002

Obvod realizuje aritmetické, logické a registrórové mikrooperace s dvoubitovými slovy dat. Mikrooperace je zvolena stavem sběrnice  $F$  a ovlivněna stavem vstupní sběrnice  $K$  a vstupů  $LI$ ,  $CI$ . Operandy jsou vybrány vstupními multiplexery aritmetické jednotky obvodu z pole vnitřních registrů nebo ze vstupních sběrnic — viz obr. 7. Jako cíl umístění výsledku operace je volen některý z registrů pole, nebo výstupní adresový registr  $MAR$  nebo střádač  $AC$ . Možnosti volby typu operace, zdrojových a cílových registrů (sběrnic) ukazuje tab. 7. Tab. 6 pak definuje mikrooperace ve vztahu ke stavu řídící sběrnice  $F$  a sběrnice  $K$ . Tab. 5 popisuje význam jednotlivých vývodů pouzdrov.

Funkce obvodu počíná po týlové hraně hodin  $CLK$ . Po ustálení vstupů  $F$ ,  $K$ ,  $M$ ,  $I$ ,  $LI$ ,  $CI$  jsou zvoleny zdroje operandů a typ operace. Výstupní přenosy  $CO$ ,  $RO$  se ustálí s předstihem před čelem hodinového impulsu, s nímž se přepisuje výsledek operace do cílového registru. Význam aritmetického přenosu  $CO$  se ve stavu  $L$  na vstupu  $CLK$  změní. Přesah  $CO$  přes čelní hranu hodin však stačí pro zápis do střádače  $F$  při spolu-



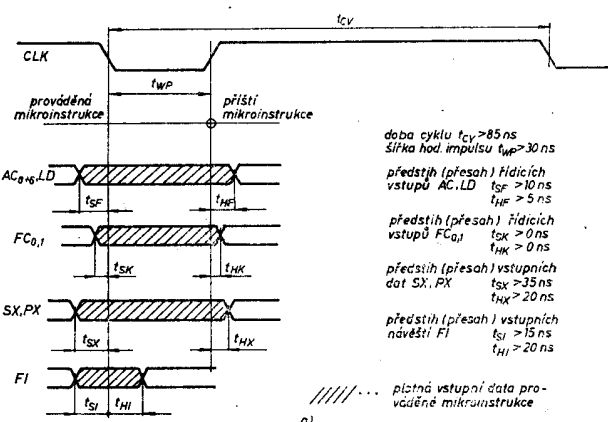
Obr. 4. Funkční schéma obvodu MH3001



Obr. 5. Příklad možností skoků na příští adresu (JZR, JCC, JCR)

Tab. 5. Význam vývodů MH3002 (obsah jednotlivých sloupců jako v tab. 4)

$I_{s,1}$	01, 02	60/1500	—	0 = H 1 = L	vstup dat pro vnější zařízení
$K_{s,1}$	03, 04	40/ 250	—	0 = H 1 = L	vstup konstant a maskování
$M_{s,1}$	22, 21	60/1500	—	0 = H 1 = L	vstup dat z paměti
$F_0 \div F_6$	25, 26, 27, 24, 17, 16, 15	40/ 250	—	0 = L 1 = H	vstupy řízení mikrooperací
$CI, LI$	10, 09	CI 180/4000 LI 60/1500	—	0 = H 1 = L	vstup aritmetického přenosu vstup pro posuv vpravo
$EA, ED$	11, 23	40/ 250	—	0 = H 1 = L	výbavení adresy a dat na sběrnice $A$ , $D$ při $EA = ED = 1 = L$
$D_s, D_1$	19, 20	—	třístavové 1/10/0,1	0 = H 1 = L $ED = H \rightarrow Z$	výstup dat 3. stav při $ED = 0 = H$
$A_s, A_1$	13, 12	—		$EA = H \rightarrow Z$	výstup adres 3. stav při $EA = 0 = H$
$CO, RO$	0, 7 08	—		0 = H 1 = L vzáj. vybav. Z	výstup aritmet. přenosu a posuvu vpravo. Jsou vzájemně vybavovány. $RO$ vybaven jen při $SA$
$X, Y$	05, 06	—	dvooustavové 1/10	0 = L 1 = H	výstupy pro zprac. rychlého přenosu obvodem 3003
$CLK$	18	40/ 250	—	0 = L 1 = H	vstup hodin

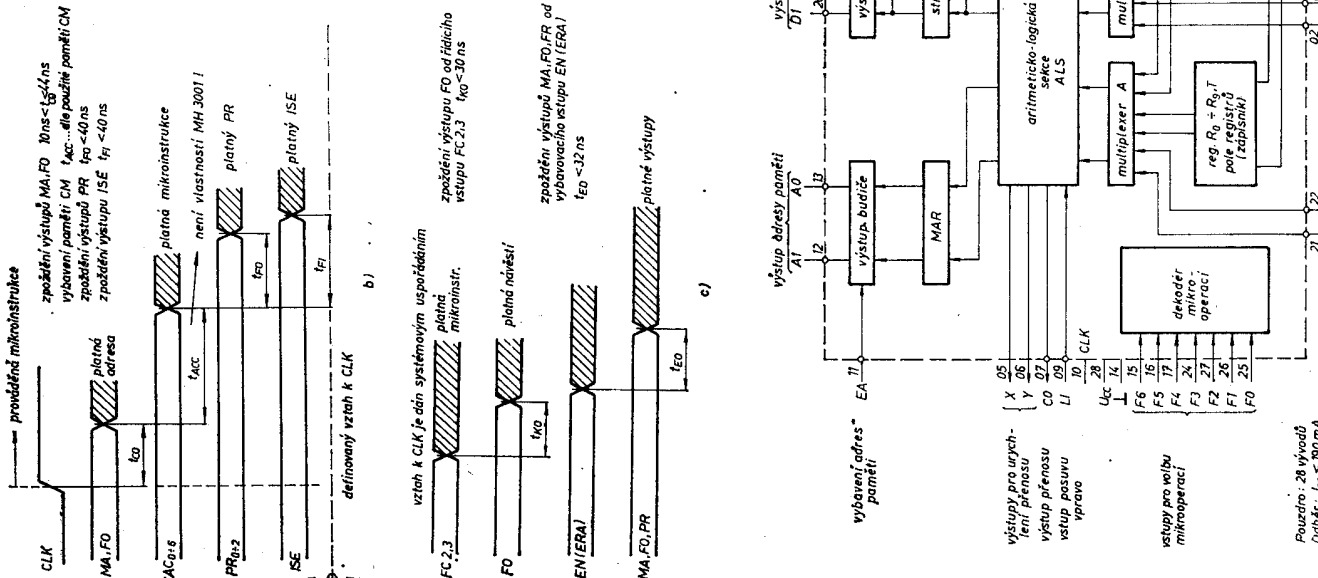


Obr. 6a. Předstihy a přesahy vstupních signálů vůči hodinovému impulu MH3001

Tab. 6. Definice, kódování a symbolické označení mikrooperací MH 3002

práci s obvodem 3001. Třístatové provedení výstupu přenosu  $CO$  a výstupu blokování výprolu  $RO$  spolu se vzajemným využitím volbou funkce pro posuv vpravo umožňuje jejich připojení.

Obr. 7. Funkční schéma obvodu M13008



Pouzdro: 28 vývodů  
Odběr:  $I_{CC} < 790 \text{ mA}$   
 $U_{CC} = 5 \text{ V}$

Tab. 7. Typy mikrooperací obvodu MH3002

Mikrooperace jsou typu $A op_B \rightarrow C$ nebo $op_A \rightarrow C$ ; $a \rightarrow CO$ nebo $I \rightarrow CO$ nebo přes vývodo $\rightarrow RO$	$Rn; M; AT$	jou přípustné jen některé kombinace naznačených zdrojů operandů a cílu výsledku viz tab. 56
Zdroje operandu $A$	$AC \wedge K; I \wedge K; K$	
Zdroje operandu $B$	$Rn; AC; Rn; AT$	
Umístění (cíl) výsledku $C$		
Typ mikrooperace	Symbol	Popsí
Přesun dat	MOV	$A \rightarrow C, a \rightarrow CO$
Přesun a výpočet adresy	MAR	$KVA \rightarrow MAR; A + K + CI \rightarrow C; a \rightarrow CO$
Arit. součet	ADD	$A + B + CI \rightarrow C; a \rightarrow CO$
Inkrement	INC	$A + 1 \rightarrow C; a \rightarrow CO$
Dekrement	DEC	$A - 1 \rightarrow C; a \rightarrow CO$
Logický součin	AND	$A \wedge B \rightarrow C; l \rightarrow CO$
Logický součet	IOR	$A \vee B \rightarrow C; l \rightarrow CO$
Ekvivalence (exclusive NOR)	XNR	$CIW (A \vee B) \rightarrow CO$
Negace (z doplněk)	NOT (NEG)	$\bar{A} \rightarrow C; (\bar{A} + 1) \rightarrow C; a \rightarrow CO$
Maskování (test)	MSK (TST)	$K \wedge A \rightarrow C$ (je-li $C = 0$ $\rightarrow CO$ )
Nulování	CLR	$0 \rightarrow C$
Nastavení	SET	$1 \rightarrow C$
Posuv vpravo o 1 bit	SHR	$LI \rightarrow H; A$ vpravo posunutý $\rightarrow C; A_L \rightarrow R$

$I, K, M$   
 $Rn$   
 $AC$   
 $AT$   
 $MAR$   
 $CI, LI$   
 $CO, RO$

$a = CIwC$   
 index  $L(H)$   
 $+ (-)$   
 $\nabla (1)$   
 $= \overline{X}$

výslní slibného nebo data na nich  
 registr zapsáníku (nebo jeho obsah)  
 stužka (nebo jeho obsah)  
 registr  $AC$  nebo  $T$  (nebo obsah zvoleného z nich)  
 registr adresy (nebo jeho obsah)  
 data na přenosových vstupech  
 výstupy přenos  
 aritmetický přenos  
 logický přenos  
 označení binární nejjistšího (nejvyššího) řádu zprac. slova dat  
 softní (odčítání) v aritmetice dvojkového doplnku  
 logický součet (součin)  
 ekvivalence  
 negace  $X$   
 přesun obsahu  $A$  do  $C$  logickým součtem bitů výsledku  $C$

$E0+4$       MH 3003

Obr. 9a. Představy o přesahy vstupního signálu 3002 včetně hodin

Obr. 9b. Zpoždění přenosu od funkčních vstupů 3002

Obr. 9c. Zpoždění přenosu od vstupu 3002

Obr. 9d. Zpoždění přenosu a výstupních dat od hodin 3002

Obr. 9e. Šíření přenosu v 16-bitovém procesoru 3002

Obr. 9f. Šíření přenosu v 16-bitovém procesoru 3002

Obr. 9g. Šíření přenosu v 16-bitovém procesoru 3002

Obr. 9h. Šíření přenosu v 16-bitovém procesoru 3002

Obr. 9i. Šíření přenosu v 16-bitovém procesoru 3002

Obr. 9j. Šíření přenosu v 16-bitovém procesoru 3002

Obr. 9k. Šíření přenosu v 16-bitovém procesoru 3002

Obr. 9l. Šíření přenosu v 16-bitovém procesoru 3002

Obr. 9m. Šíření přenosu v 16-bitovém procesoru 3002

Obr. 9n. Šíření přenosu v 16-bitovém procesoru 3002

Obr. 9o. Šíření přenosu v 16-bitovém procesoru 3002

Obr. 9p. Šíření přenosu v 16-bitovém procesoru 3002

Obr. 9q. Šíření přenosu v 16-bitovém procesoru 3002

Obr. 9r. Šíření přenosu v 16-bitovém procesoru 3002

Obr. 9s. Šíření přenosu v 16-bitovém procesoru 3002

Obr. 9t. Šíření přenosu v 16-bitovém procesoru 3002

Obr. 9u. Šíření přenosu v 16-bitovém procesoru 3002

Obr. 9v. Šíření přenosu v 16-bitovém procesoru 3002

Obr. 9w. Šíření přenosu v 16-bitovém procesoru 3002

Obr. 9x. Šíření přenosu v 16-bitovém procesoru 3002

Obr. 9y. Šíření přenosu v 16-bitovém procesoru 3002

Obr. 9z. Šíření přenosu v 16-bitovém procesoru 3002

Obr. 9aa. Šíření přenosu v 16-bitovém procesoru 3002

Obr. 9ab. Šíření přenosu v 16-bitovém procesoru 3002

Obr. 9ac. Šíření přenosu v 16-bitovém procesoru 3002

Obr. 9ad. Šíření přenosu v 16-bitovém procesoru 3002

Obr. 9ae. Šíření přenosu v 16-bitovém procesoru 3002

Obr. 9af. Šíření přenosu v 16-bitovém procesoru 3002

Obr. 9ag. Šíření přenosu v 16-bitovém procesoru 3002

Obr. 9ah. Šíření přenosu v 16-bitovém procesoru 3002

Obr. 9ai. Šíření přenosu v 16-bitovém procesoru 3002

Obr. 9aj. Šíření přenosu v 16-bitovém procesoru 3002

Obr. 9ak. Šíření přenosu v 16-bitovém procesoru 3002

Obr. 9al. Šíření přenosu v 16-bitovém procesoru 3002

Obr. 9am. Šíření přenosu v 16-bitovém procesoru 3002

Obr. 9an. Šíření přenosu v 16-bitovém procesoru 3002

Obr. 9ao. Šíření přenosu v 16-bitovém procesoru 3002

Obr. 9ap. Šíření přenosu v 16-bitovém procesoru 3002

Obr. 9aq. Šíření přenosu v 16-bitovém procesoru 3002

Obr. 9ar. Šíření přenosu v 16-bitovém procesoru 3002

Obr. 9as. Šíření přenosu v 16-bitovém procesoru 3002

Obr. 9at. Šíření přenosu v 16-bitovém procesoru 3002

Obr. 9au. Šíření přenosu v 16-bitovém procesoru 3002

Obr. 9av. Šíření přenosu v 16-bitovém procesoru 3002

Obr. 9aw. Šíření přenosu v 16-bitovém procesoru 3002

Obr. 9ax. Šíření přenosu v 16-bitovém procesoru 3002

Obr. 9ay. Šíření přenosu v 16-bitovém procesoru 3002

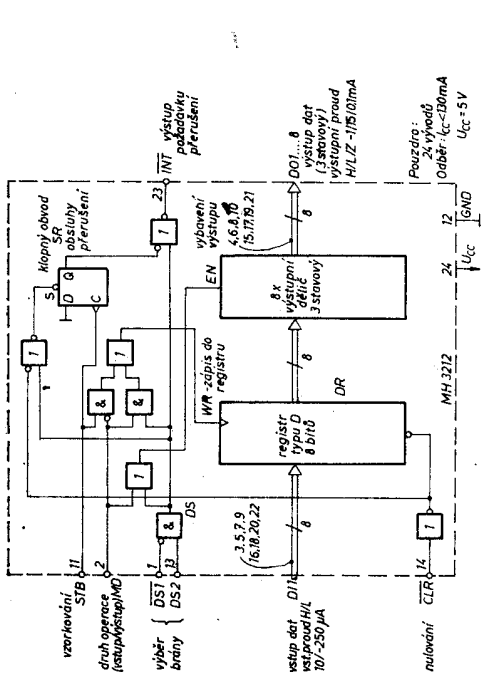
Obr. 9az. Šíření přenosu v 16-bitovém procesoru 3002

Obr. 9ay. Šíření přenosu v 16-bitovém procesoru 3002

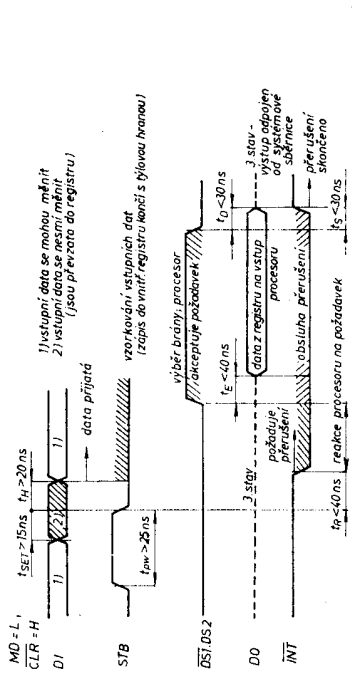
Tab. 8. Funkce ohvodu MH 3212

Pozitív	Vstupy	Výběr $DS =$ $\overline{DS1} \cdot DS2$	Volba operace $MD$	Výstup dat $DO$	Funkce
Systé- movo- výstup	L	L	I <sub>1</sub>	Z (3. stav)	ignoruje $DI$ , výstup odpojen
	H	L	L	Z (3. stav)	zapisuje $DI \rightarrow DR$ , výstup odpojen
	L	I	L	DR	ignoruje $DI$ , pamatovaná data na výstup $DR \rightarrow DO$
	H	H	L	DI	zapisuje data a připojuje výstup $DI \rightarrow DR \rightarrow DO$
	L	L	H	DR	ignoruje $DI$ , pamatovaná data na výstup $DR \rightarrow DO$
	H	L	H	DR	
	L	H	H	DI	
	H	H	H	DI	

Tabulka platí pro $\overline{CLR} = H$ . $\overline{CLR} = L$ nuluje registr a nastavuje klopný obvod SR. Klopný obvod obsluhuje přerušení SR — nastaven pro $DS = H$ nebo $\overline{CLR} = L$ — může být změnou $H \rightarrow L$ na vstupu STB.  Výstup přerušení $\overline{INT} = L$ — 3212 požaduje přerušení, je-li $DS = H$ nebo klopný obvod SR vy- nulován.
--



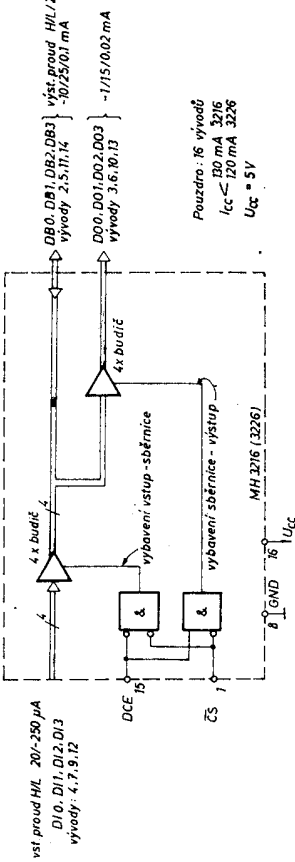
Obr. 10a. Funkční schéma 8-bitového univerzálního vstup/výstupního registru MH8212



*objevod* 3212 ve funkci vstupní brány.

MD = H, CLR = H

Tab. 9. Funkce obvodu MH3216 (3226).



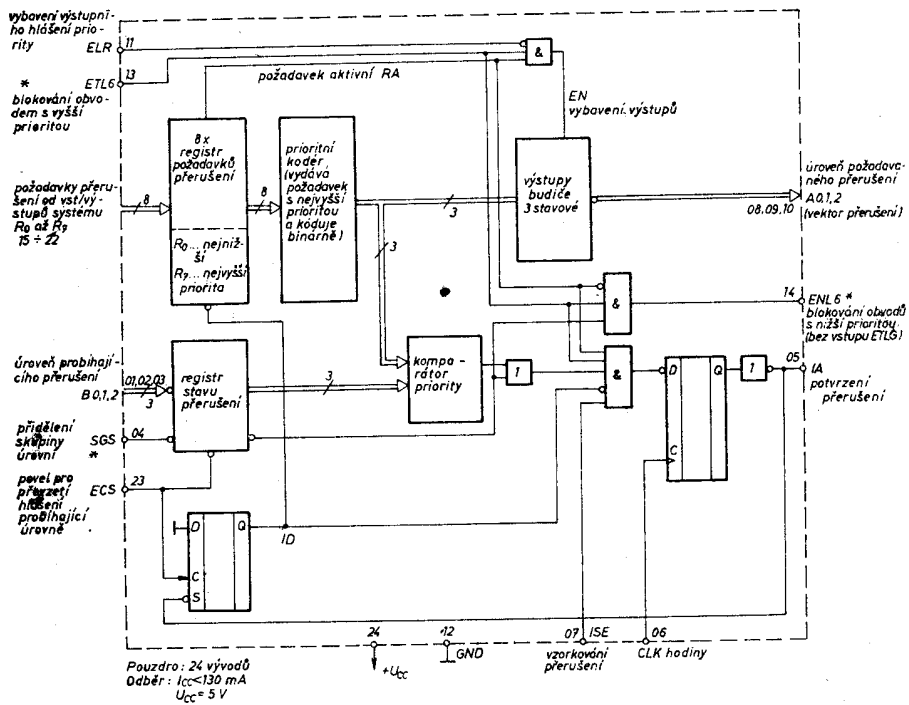
Obr. 11. Funkční schéma obousměrného čtyřnásobného sběrnice MHS216 (neinvertující) nebo MHS226 (invertující)



**MH33212** ve funkci vstupu a výstupu systému

*Sdělovací technika* 8/1979

303



mé spojení. Shodně jsou ošetřeny vstupy přenosů *CI* a *LI*.

Pro spojení s obvodem rychlého přenosu realizuje obvod 3002 funkce na výstupech *X*, *Y*. Způsob spojení obvodů 3002 a 3003 v 16 bitovém procesoru je naznačen na obr. 8. Na obr. 9 jsou nakresleny časové vztahy vstupů a výstupů obvodu 3002 a naznačeno možné ovlivnění zpoždění aritmetického přenosu připojením obvodu 3003.

### Doplňkové obvody řady 3000

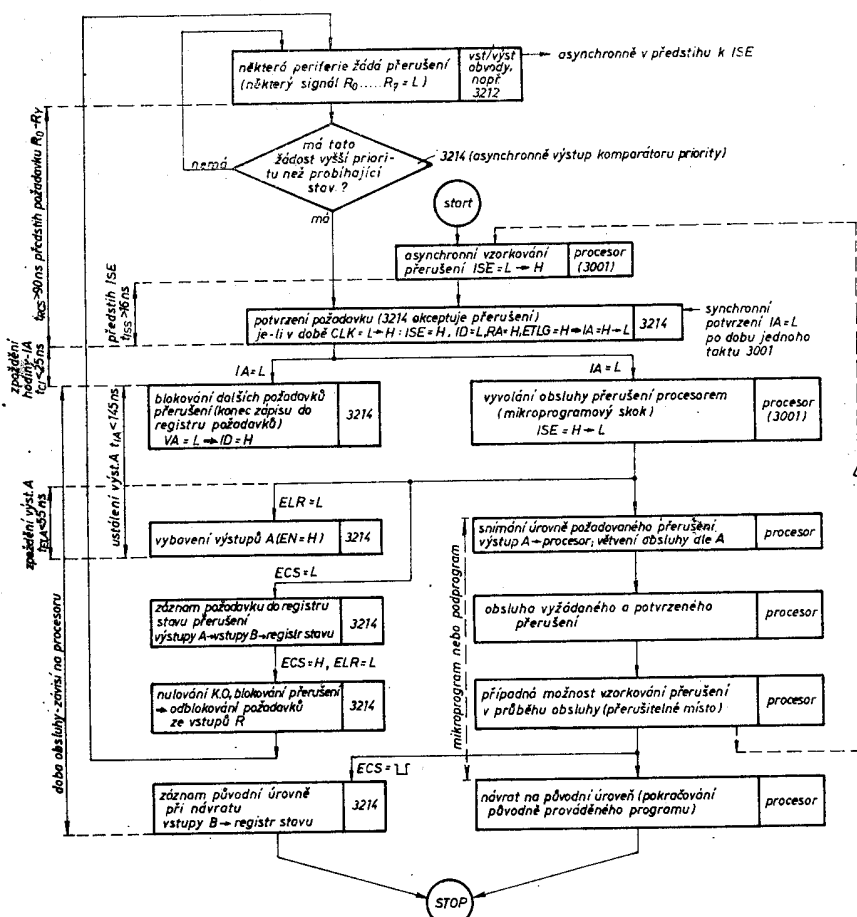
Tyto obvody nemají charakter procesorových prvků. Uvedeme zde proto jen jejich základní charakteristiky v tabulkách 8, 9, 10 a funkční schémata na obr. 10, 11, 12.

### Závěr

Uvedená stručná charakteristika prvků řady TESLA MH3000, funkčně ekvi-

Obr. 12a. Funkční schéma obvodu MH3214; \* signál pro kaskádní řazení více obvodů 3214 v systémech s více než osmi úrovnemi přerušení. Pro systém s 8 nebo méně úrovní je SGS = L a ETLG = H

Obr. 12b. Zjednodušený časový a tokový diagram funkci obvodu MH3214 (bez funkci kaskády)



Tab. 10. Funkce dekodéru 1z8 MH 3205

01 - A	DC	0 - 15
02 - B	MH 3205	1 - 14
03 - C		2 - 13
04 - E1		3 - 12
05 - E2		4 - 11
06 - E3		5 - 10
		6 - 09
		7 - 08
GND - 08		
$I_{CC} < 70 \text{ mA}$		
$U_{CC} = 5 \text{ V}$		

adresa	výstup	vybavení	X ... stav H nebo L								vybaven	pro	$E1, E2, E3 = L$			
			C	B	A	0	1	2	3	4	5	6	7			
L	L	L	L	H	H	H	H	H	H	H	H	H	H	L	L	H
L	L	H	H	L	H	H	H	H	H	H	H	H	H			
L	H	L	H	H	L	H	H	H	H	H	H	H	H			
L	H	H	H	H	H	L	H	H	H	H	H	H	H			
H	L	L	H	H	H	H	L	H	H	H	H	H	H			
H	L	H	H	H	H	H	H	L	H	H	H	H	H			
H	H	L	H	H	H	H	H	H	L	H	H	H	H			
H	H	H	H	H	H	H	H	H	H	L	H	H	H			
X	X	X	H	H	H	H	H	H	H	H	H	H	H			

valentních obvodům Intel 3000, nepostihuje všechny jejich elektrické parametry a řadu důležitých funkčních vlastností nechává stranou. Ke zdánlivému zvládnutí aplikací uvedených obvodů je pochopitelně potřeba důkladná znalost prvků, metodiky aplikace a praktická zkušenosť s jejich použitím. Navíc pak ve sféře mikroprogramovatelných procesorů musí návrhář zvládnout programování procesoru alespoň na úrovni mikroprogramů. Struktura procesoru a použitých mikroprogramů spolu úzce souvisí a řešení problému nelze rozdělit na návrh mikroprogramů a návrh technického vybavení procesoru.

### LITERATURA

- [1] Kolektiv: *Sborník semináře „Mikroprocesorový bipolární systém Intel 3000“*. DT ČVTS Ostrava, PČVTS TESLA Rožnov, listopad 1977.
- [2] Kolektiv: *Mikroprocesorový bipolární systém Intel 3000*. DT ČVTS Ostrava, březen 1978

### POČÍTAČ PRO DOMÁCOST

Japonská firma Hitachi vystavovala v květnu 1978 v Tokiu počítač pro domácnost, který chce v brzké době uvést na trh. Počítač velikosti myšky na nádobí má vestavěný mikroprocesor, paměti a klávesnici, vše ergonomicky přizpůsobeno potřebám ženy v domácnosti, která si tak může bez potřeby zvláštních předchozích znalostí organizovat práci po celý den.

Počítač řídí např. celý klimatizační systém domu (otvírání, větrání a chlazení), kontroluje vydání pro domácnost a sestavuje jídelníčky pro 50 dní (s přidavným magnetofonem až pro 200 dní). Navíc je plánováno: zabezpečení oken, ochrana proti požáru a vloupání, jakož i krmení domácích zvířat.

-hák-

Funkschau 1978 č. 22, str. 1101

# Aplikace mikroprocesorových prvků řady 3000

ING. TOMÁŠ GUCKÝ

Článek uvádí základní možnosti aplikací a metod návrhu s obvody řady TESLA MH3000, volně navazuje na popis jednotlivých prvků řady uvedený v [1]. Zabývá se postupem návrhu zapojení procesoru, jeho časováním a návrhem mikrogramů.

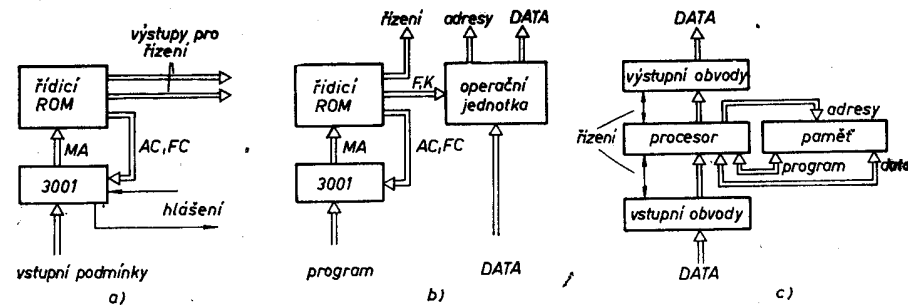
## Obor použití obvodů řady 3000

Základní aplikací řady 3000 jsou rychlé mikrogramovatelné řadiče, procesory resp. mikropočítače (obr. 1). Vý-

staví procesor napodobující funkčně procesor jiný apod.

## Aplikační postupy

Při vývoji aplikace s obvody série 3000 uvádíme nejprve požadavky na typ vstupních a výstupních zařízení, posoudíme objem zpracovávaných dat a požadovaný způsob zpracování. Podle získaných poznatků volíme strukturu návrhovaného mikropočítače a specifikujeme požadavky na:



Obr. 1. Základní aplikace řady 3000; a) řídící jednotka, b) mikroprocesor, c) mikropočítač

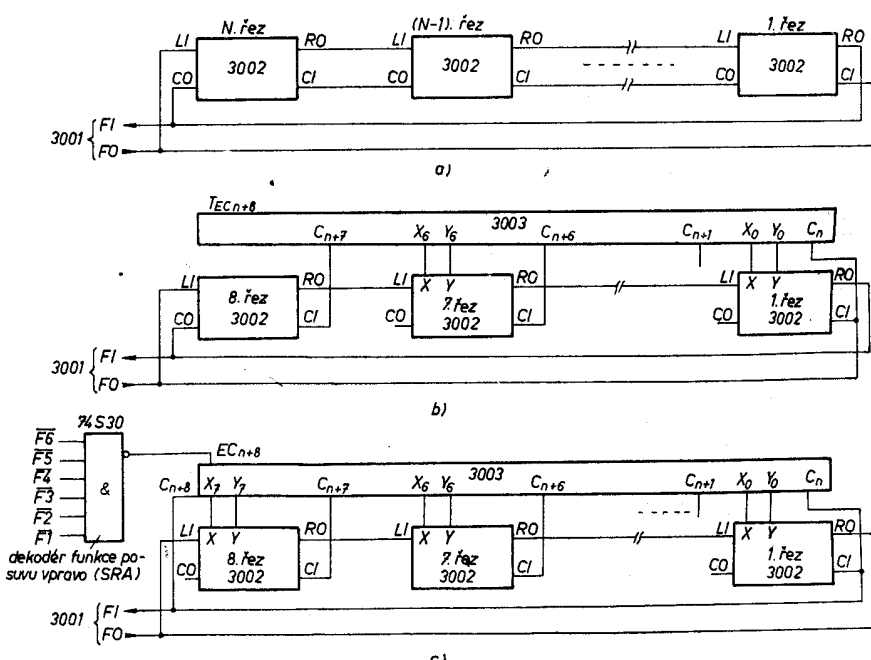
sledný stroj, který navrhujeme, může podle nároku aplikace obsahovat jednu nebo dvě úrovně programování a řízení. Ve nejjednodušším případě je možno použít jediný obvod 3001 jako mikrogramový sekvenční automat, který generuje posloupnosti skupin logických signálů, čtených z řídící paměti v závislosti na posloupnosti vstupních signálů a vnitřních stavů. Takové uspořádání je použitelné jako náhrada automatu se staveného z klasických logických obvodů SSI, MSI. Jeho výhodou je i snadná realizace změn funkcí pouhou výměnou obsahu řídící paměti. Pokud má návrhovaný stroj provádět operace s vícebitovými slovy, neobejdě se bez operační jednotky. Procesor pak bude obsahovat pro  $2N$ -bitové slovo nejméně  $N$  obvodů 3002, řídící paměť a mikrořadič 3001. Jeho výhodou je možnost volby délky slova zpracovávaných dat a možnost volby souboru operací podle nároku aplikace. Druh aplikace procesoru ovlivňuje také výslednou konfiguraci spolu-pracujících jednotek. Spolu s pamětí pro program a data, vstupními a výstupními obvody můžeme vytvořit mikropočítač „na míru“ dané aplikaci. Je nezbytné, aby vedle mikrogramů uživatel vytvořil také aplikační programy a vede mikrogramového řízení procesoru navrhl řízení jednotek mikropočítače a jeho vnějších zařízení na systémové úrovni. Tato dvojí úroveň návrhu sice komplikuje práci, ale na druhé straně optimalizuje výsledek. Z obvodů řady 3000 je tak možno sestavovat procesory a číslicová zařízení pro sběr dat, řízení periferních zařízení počítačů, číslicovou regulaci, řízení procesů. Je možno se-

Tuto úvodní rozvahu musíme provést pečlivě a s přihlédnutím ke specifickým vlastnostem prvků řady 3000. Týká se to hlavně operačních rychlostí prvků, uspořádání sběrnice a souboru požadovaných operací. Je třeba podrobně rozpracovat algoritmus řešené úlohy, uvážit potřebný soubor instrukcí, napsat příklady aplikačních programů a soubor pokud možno podle nich optimalizovat. Vyhne se tak omylům ve specifikaci, které mohou později způsobit rozsáhlé změny zapojení prvků a změny mikrogramů. Návrh celého mikropočítače dále pokračuje detailním návrhem technického vybavení a jeho aplikačních programů, realizací vzorku a jeho ověřením. Klíčová je přitom problematika návrhu procesoru, na kterou se dále soustředíme.

Specifikace stroje na makroúrovni obsahuje již specifikaci jeho procesoru, kterou musíme dále rozpracovat. Především musíme v této etapě návrhu posoudit ekonomickou vhodnost řešení s obvody řady 3000. O použitelnosti pomocných obvodů — 3212, 3214, 3216, 3226, 3205 — není spor. Jsou koncipovány obecně pro využití v paměťových systémech, obvodech vstup/výstup (dále v/v) a pomocných funkcích. Použití vlastních procesních prvků 3001, 3002, 3003 bude výhodné tam, kde jsou požadovány operace, realizovatelné krátkými mikrogramy. Pak je plně využitelná jejich rychlosť spolu s možností optimalizace procesoru podle účelu použití.

Vstupní specifikace procesoru musí obsahovat:

- formát zpracovávaných dat, z délky slova odvodíme počet použitých řezů operační jednotky 3002;
- formát instrukcí, podle něj stanovíme způsob dekódování instrukcí, způsob připojení sběrnic  $PX$ ,  $SX$  obvodu 3001;
- určení funkčních registrů stroje (nejméně to bude programový čítač, střádač, stavový registr, pracovní registry);



Obr. 2. Varianty zapojení operační jednotky: a) postupný přenos  $2N$ -bitovou operační jednotkou, b) rychlený přenos 16-bitovou operační jednotkou (mimo poslední řez), c) kompletní rychlený přenos 16-bitovou operační jednotkou. Vstupy  $F1$ ,  $F2$ ,  $F3$  hradia 74S30 mají být bez negace

- určení rozsahu a způsobu adresace paměti a zařízení v/v;
- definice souboru instrukcí;
- popis spouštěcích operací (iniciace);
- určení způsobů ovládání přerušení a styku s pamětí a obvody v/v, z toho plynoucí organizace řídících a pomocných obvodů;
- požadavky na operační rychlosť.

Další postup návrhu procesoru spočívá v:

- návrhu zapojení,
- návrhu časování,
- návrhu mikroprogramů pro zadaný soubor instrukcí.

Jednotlivé oblasti návrhu se vzájemně prolínají a ovlivňují. Pojednáme o nich odděleně pouze z důvodu větší přehlednosti výkladu.

### Zapojení operační jednotky

Funkce operační jednotky a řezu 3002 byly popsány v [1]. Jsou možná tři základní zapojení s rozdílnou operační rychlostí (obr. 2):

- zapojení s postupným aritmetickým přenosem, zprostředkováným mezi jednotlivými řezy 3002 signály CI, CO;
- zapojení se zrychleným přenosem s výjimkou posledního řezu;
- zapojení s úplným zrychleným přenosem, s přídavnou logikou. Přídavný obvod dekóduje mikrooperační kód pro posuv vpravo, při němž musí být blokován výstup přenosu operační jednotky, spojený současně s výstupem RO na návěstní vstup obvodu 3001.

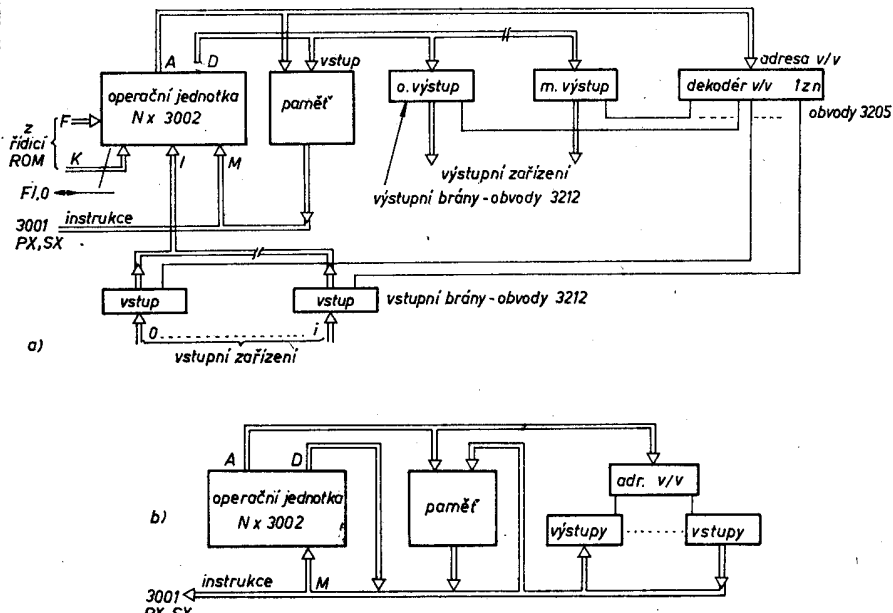
Další možnosti variací zapojení operační jednotky poskytují vstupní sběrnice K, I (obr. 3). V nejjednodušším případě je stav sběrnice K definován jedním bitem mikroinstrukce ( $K = 0, K = 1$ ). Tímto způsobem je modifikován operační kód 3002 a zvětší se počet využitelných mikrooperací. Úplné využití sběrnice K dovoluje vkládat z mikroprogramu libovolnou konstantu, zamaskovat libovolné bity operandu a pracovat se skupinami bitů nebo s jednotlivými bity. To však vyžaduje samostatné určení každého bitu K v mikroinstrukci a zbytečně zvětšuje rozsah řídící paměti. Účelné je definovat v poli K mikroinstrukce jen nezbytné konstanty a masky<sup>a</sup>, ty vybírat dekodérem nebo vhodným připojením bitů pole K mikro-

instrukce ke vstupům K jednotlivých řezů. Sběrnice I je určena pro vstup dat ze vstupních zařízení. Pokud k tomuto účelu použijeme společnou sběrnici s pamětí (M), zůstane sběrnice I volná. Je možno ji využít pro připojení vnější logiky nebo zápisníkové paměti a rozšířit schopnosti operační jednotky.

Uspořádání styku s pamětí a obvody v/v prostřednictvím sběrnic A, D, M, I operační jednotky je také na vůli uživatele. Na obr. 4 jsou naznačeny nejběžnější způsoby organizace sběrnic.

zapojením ovlivněn. Tyto činnosti jsou:

- A — adresování buňky řídící paměti;
- B — výběr mikroinstrukce z řídící paměti;
- C — provedení mikrooperací podle vybrané mikroinstrukce, nastavení výstupního návěstí FO;
- D — výpočet adresy příští mikroinstrukce;
- E — převzetí vstupního návěstí FI;
- F — korekce adresy příští mikroinstrukce podle převzatého návěstí FI;
- G — zápis vypočtené adresy do registru



Obr. 4. Příklady způsobu organizace sběrnic; a) připojení operační jednotky systémem jednosměrných sběrnic, b) spojení jednotek na obousměrné sběrnici dat

### Zapojení řadiče

Základní funkce řadiče i jeho řídícího prvku 3001 byly popsány v [1]. Řízení procesoru pomocí mikroprogramového řadiče s obvodem 3001 je možno koncipovat dvěma způsoby:

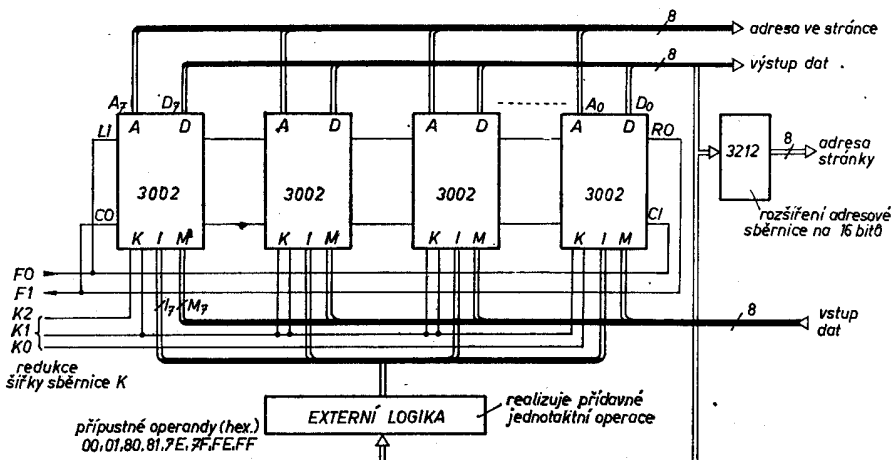
- řízení s postupným výběrem a provedením mikroinstrukce,
- řízení s překrytým provedením mikroinstrukce a výběrem příští mikroinstrukce (pipelining).

Práce řadiče sestává z několika činností, jejichž časový vztah je zvolený

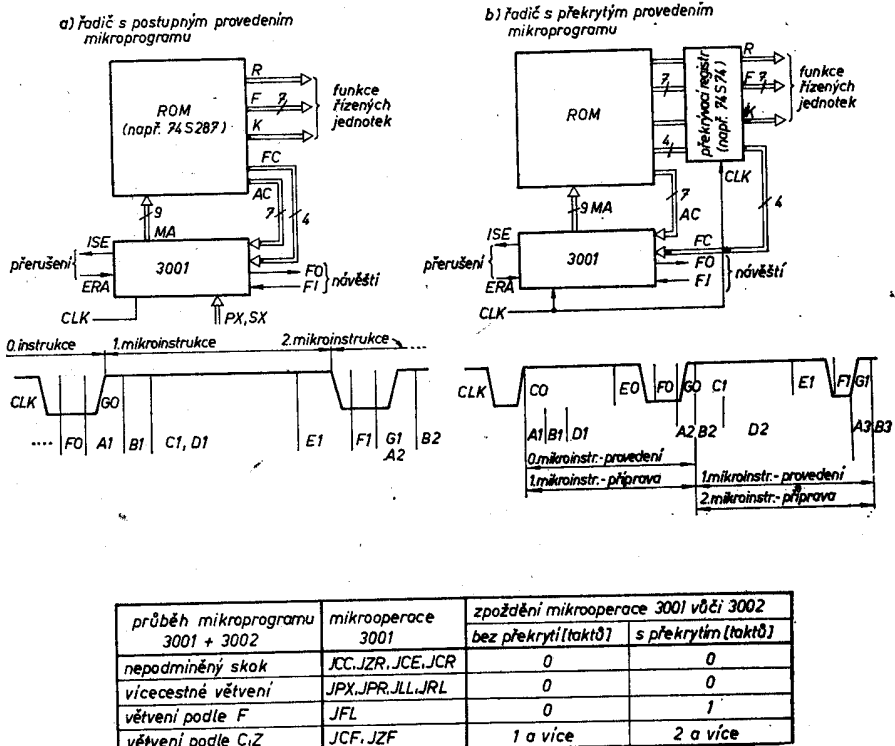
MAR; zápis do indikátorových registrů C, Z.

Na obr. 5 je naznačen princip řadiče s postupnou i překrývanou funkcí a časový vztah uvedených činností v obou variantách zapojení. Překrývání je realizováno zařazením registrů typu D mezi výstup řídící paměti a řízení obvody procesoru. To umožňuje současně provádění mikroinstrukce a snímání příští mikroinstrukce, důsledkem je zrychlení práce procesoru. Pokud však má v mikroprogramu probíhat větvění podle návěstí FI nebo indikátorů C, Z, musí řadič s překrýváním toto větvění zařadit až do následujících kroků mikroprogramu — viz tabulka v obr. 5.

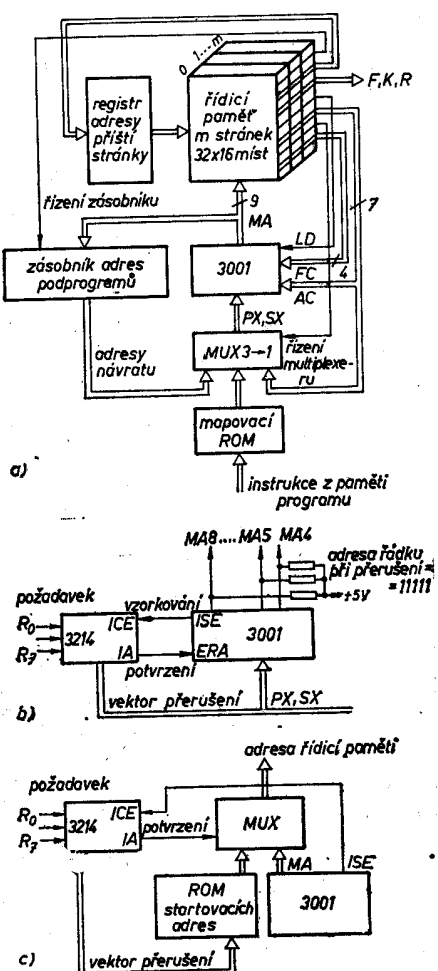
K základním funkcím obvodu, jako je dekódování instrukce, nastavování návěstí, řízení průběhu mikroprogramu, generování signálů, vzorkování přerušení, můžeme vnějšími obvody přidat další. Některé možnosti jsou naznačeny na obr. 6. Tzv. mapovací paměť ROM na vstupech PX, SX umožňuje překódování instrukce v případě, kdy je strojový kód zadán, ale řadič vyžaduje kód jiný. Adresu příští mikroinstrukce je možno plnit přímo ze sběrnice PX, SX napájené z několika zdrojů adresy, přes multiplexer. Je možno připojit zásobníkovou paměť pro adresy návratu z podprogramů v mikroprogramech. Pokud nestačí rozsah 512 paměťových míst řídící paměti, který je přímo adresovatelný obvodem 3001, je vhodné rozšířit adresový registr MAR přidáním vnějšího registru. Jeho obsahem jsou adresovány „stránky“ řídící paměti, výběr



Obr. 3. Rozšíření možností 8-bitové operační jednotky. Přípustné operandy jsou vztázeny ke sběrnici K



Obr. 5. Princip práce řadiče s překrytým nebo postupným provedením mikroprogramu



Obr. 6. Způsoby realizace přídavných funkcí řadiče; a) rozšíření funkci 3001, b) pětice řadiče se startem na řádku 31, c) pětice řadiče s libovolnou startovací adresou (vstup ICE má být označen ISE)

stránky příští mikroinstrukce pak bude určen speciálním polem mikroinstrukce. Přerušení práce procesoru provádí obvod 3214 signálem IA (akceptuje přerušení jako odezvu na signál ISE — vzorkování přerušení). Nastavení startovací adresy mikroprogramu obsluhy přerušení lze provést několika způsoby, naznačenými též na obr. 6.

#### Časování procesoru

Dosažitelné časové parametry procesoru závisí nejen na parametrech použitých součástek, ale hlavně na konfiguraci jejich zapojení. Proto musíme provést detailní rozbor všech kritických cest signálů v procesoru. Zvažujeme:

- potřebné předstíhy a přesahy dat v operační jednotce,
- zpoždění přenosů operační jednotky, časovou vazbu návštěví operační jednotky a řadiče,
- vztah operační jednotky k paměti a obvodům v/v,
- zpoždění řídicích cest (řadiče a obvodů přerušení),
- synchronizaci signálů rozhraní.

Ukážeme dále na typickém zapojení 16-bitového procesoru (obr. 7) metodiku časového rozboru signálových cest. Všechny obvody zapojení jsou synchronizovány systémovými hodinami. Budeme uvažovat varianty zapojení řadiče z obr. 5 z hlediska postupného nebo překryvaného řízení. Označení dynamických parametrů prvků v souhlase s [1], [2].

#### Zpoždění aritmatických cest

Cyklus vyvolání a provedení aritmatické funkce probíhá v následujících krocích:

1. krok — čtení mikrooperačního kódu — ustálení sběrnice  $F$ ,  $K$ . Při použití překryvacího registru je to jen zpoždění hodiny — výstup ( $t_{PLR} = 9$  ns pro MH74S74). Bez překryvacího registru je to zpoždění hodiny — adresa MA ( $t_{AO} = 44$  ns) a doba výběru mikroinstrukce z řídicí paměti ( $t_{ACC} = 50$  ns pro MH74188, nebo  $t_{ACO} = 65$  ns pro MH74S287); celkem tedy 94 nebo 109 ns.

2. krok — dekódování mikrooperace, výběr operandů, provedení operace. Zde musíme brát v úvahu konfiguraci operační jednotky. S postupným přenosem je výstup CO 1. řezu generován se zpožděním  $t_{OF} = 65$  ns a šíření přenosu ze vstupu CI na výstupy CO následujících řezů trvá ( $N - 1$ ).  $t_{OC} = 7$ .  $25$  ns = 175 ns. Při použití obvodu zrychleného přenosu je zpoždění funkce — výstup X, Y, RO  $t_{XF} = 52$  ns a zpoždění obvodu 3003  $t_{XC} = 20$  ns.

3. krok — pamatování výsledku operace ve strádači a specifikovaném registru s čelem hodinového impulu. Sem musíme zahrnout předstíhy přenosu  $t_{SS} = 27$  ns pro 3002 a předstíhy přenosu na vstupu FI 3001  $t_{SI} = 15$  ns.

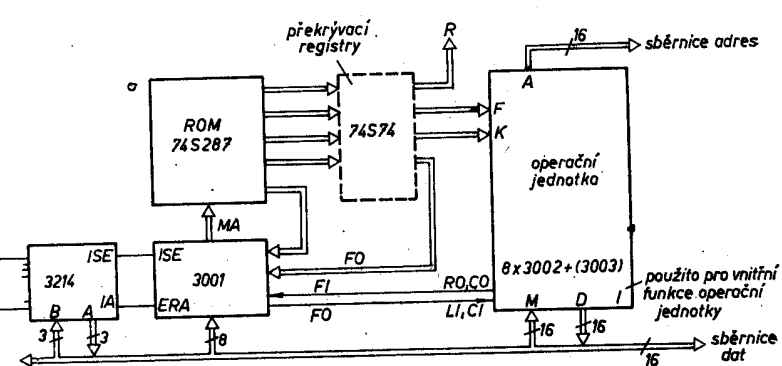
4. krok — operace je skončena a jednotka čeká na týlovou hranu hodin, zahajující následující mikroinstrukci. Musíme zajistit minimální šířku hodinového impulu  $t_{WP} = 33$  ns.

Na základě uvedeného postupu můžeme rozebrat časování cyklu možných konfigurací procesoru. Je evidentní, že nejpomalejší bude varianta bez překryvání a s použitím postupného přenosu (předpokládáme použití paměti MH 74S287).

#### Doba cyklu

$$t_{CYCL} = t_{CC} + t_{ACO} + t_{OF} + (N - 1).t_{OC} + t_{SI} + t_{WP} = (44 + 65 + 65 + 175 + 27 + 15 + 33) \text{ ns} = 397 \text{ ns.}$$

Nejrychlejší konfigurace bude opatřena



Obr. 7. Typické uspořádání 16-bitového procesoru

překrývacím registrem a úplným zrychleným přenosem (registrový MH74S74, paměť MH74S287)

$$\begin{aligned} t_{CYKL} &= t_{PLR} + t_{XF} + t_{XA} + \\ &\quad + t_{SS} + t_{WP} = \\ &= (9 + 52 + 20 + 27 + 33) \text{ ns} = \\ &= 141 \text{ ns.} \end{aligned}$$

Casování cyklu aritmetické operace může být jiné, pokud jako operandu využíváme dat ze sběrnice  $M$  nebo  $I$ . V takovém případě je obvykle styk s pamětí realizován v prodlouženém cyklu hodin (hodiny 3002 ve stavu  $H$ ) a operační jednotka čeká na platná data ze sběrnice. Po ustálení dat musíme zajistit dostatečný předstih dat před přepisem výsledku operace čelní hranou hodin. Pro variantu s postupným přenosem je to  $t_{setup} = 245$  ns, s rychlým přenosem bez posledního řezu  $t_{setup} = 102$  ns a s úplným rychlým přenosem  $t_{setup} = 89$  ns.

### Zpoždění řídicích cest

Funkce 3001 probíhá v následujících krocích:

1. krok — přepis adresy následující mikroinstrukce do registru  $MA$ . Výstup  $MA$  se ustálí se zpožděním  $t_{CC} = 44$  ns.
2. krok — čtení mikroinstrukce z adresované buňky řídicí paměti. Výstup mikroinstrukce platí se zpožděním ( $t_{AC} = 65$  ns pro MH74S287).
3. krok — generování adresy následující mikroinstrukce na základě stavu sběrnice  $AC$ , který musí být ustálen s předstihem  $t_{SF} = 10$  ns.
4. krok — prevzetí návštěv ze vstupu  $FI$  na sestupnou hranu hodin (předstih  $t_{SI} = 15$  ns, přesah  $t_{HI} = 20$  ns) a dokončení operace. 3001 čeká na týlovou hranu hodin, minimální šířka hodin  $t_{WP} = 33$  ns, dána obvodem 3002. Doba cyklu z hlediska řízení bude tedy minimálně

$$\begin{aligned} t_{CYKL} &= t_{CO} + t_{ACC} + t_{SF} + t_{WP} = \\ &= (44 + 65 + 10 + 33) \text{ ns} = 152 \text{ ns.} \end{aligned}$$

Horší bude situace v cyklu, realizujícím funkci přerušení. Jeho průběh, realizovaný standardním způsobem, je následující:

1. krok — vybavení výstupu  $ISE$  při skoku  $JZR 15$ . Zpoždění signálu  $t_{FI}$  za povolenými vstupy  $AC$  je 40 ns. Pro zpracování obvodem 3214 musí mít předstih  $t_{ISS} = 16$  ns před následnou hranou hodin. Bude tedy

$$\begin{aligned} t_{CYKL} &= t_{CO} + t_{ACC} + t_{FI} + \\ &\quad + t_{SS} = 165 \text{ ns.} \end{aligned}$$

2. krok — pokud obvod 3214 potvrdí přerušení, generuje se zpožděním  $t_{QR} = 25$  ns na výstup  $IA$ , připojený na vstup  $ERA$  obvodu 3001. Vybavení startovací adresy mikroprogramu obsluhy přerušení je zpožděno o dobu reakce na signál  $ERA$   $t_{ED} = 32$  ns a při použití pasivního mechanismu dosažené adresy řádku 11111 (pomocí zatěžovacích odporek) ještě o nabíjení (doba  $t_R$ ) adresové sběrnice  $MA$  ze zatěžovacích odporek. (Je-li  $R_z = 1 \text{ k}\Omega$   $C_z = 100 \text{ pF}$ , je úroveň  $H = 2 \text{ V}$  dosažena za asi 100 ns.) Doba cyklu z hlediska nastavení startovací adresy přerušení bude

$$\begin{aligned} t_{CYKL} &= t_{QR} + t_{EO} + t_R + t_{ACC} + \\ &\quad + t_{SF} + t_{WP} \doteq (25 + 32 + 100 + \\ &\quad + 65 + 10 + 33) \text{ ns} \doteq 265 \text{ ns.} \end{aligned}$$

Tab. 1. Příklad volby formátu mikroinstrukce

21	19	18	12	11	8	7	6	0	Mikroinstrukční slovo	
$R$ (3 bity)	$AC$ (7 bitů)		$FC$ (4bity)		$K$ 1 bit	$F$ (7 bitů)			Označení a šířka polí	
Rizení paměti a v/v	Mžení adresy příští mikroinstrukce obvodu 3001	nastavení návštěv obvodu 3001				$F$ — standardní mikrooperace obvodu 3002 $K = 0 \dots$ všechny bity sběrnice $K = 0$ $K = 1 \dots$ všechny bity sběrnice $K = 1$				Význam polí

Prodloužení cyklu vlivem přerušení lze eliminovat aplikací multiplexeru pro zavedení řádkové adresy (vyloučíme dobu  $t_R$ ), jak je naznačeno na obr. 6c. Jiná možnost je ve vzorkování speciálním bitem mikroinstrukce namísto výstupem  $ISE$ , ve spojení s modifikací adresy v nejnižším bitu sběrnice  $AC$  výstupem  $IA$ .

### Celkové posouzení časových vztahů

Rozborem dílčích funkcí procesoru z hlediska časování jsme stanovili požadavky na dobu cyklu funkcí. Poté musíme posoudit komplexně časové vazby a zvolit vhodný způsob ovládání generátoru hodin (řízení tzv. časovacím polem mikroinstrukce). Dále uvážíme vliv zbyvajících částí systému a časování ve vztahu k asynchronním hlášením. Asynchronní vstupy systému je nutno synchronizovat systémovými hodinami.

Po provedení návrhu vypracujeme definitivní časové diagramy funkcí a kontrolujeme předstihy a přesahy podle specifikací použitych součástek. Při synchronizaci prvků oddělenými hodinovými signály musíme uvážit vzájemnou časovou vazbu hodin a její přípustné tolerance.

### Návrh mikroprogramů

Jestliže je stanovena konfigurace prvního procesoru a je stanoven soubor instrukcí, zbyvá nám návrh mikroprogramů. K tomu musí být matematicky přesně definován soubor požadovaných instrukcí, programátor musí dokonale rozumět konfiguraci svého procesoru, znát funkce všech jeho jednotek a jejich vztah k formátu mikroinstrukce.

Postup návrhu mikroprogramů má následující etapy:

- návrh tokových diagramů mikroprogramů a jejich vyjádření v symbolické mikrooperaci — vyplývá z požadovaných funkcí procesoru,
- obsezení adres řídicí paměti realizovanými mikroprogramy a vyjádření obsahu řídicí paměti ve formě tabulek programování použitych typů paměti PROM.

Jak již bylo řečeno v předchozím výkladu, mikroprogram popisuje provedení instrukce procesoru sekvencí dílčích operací popsaných mikroinstrukcemi. V jednom taktu určuje adresu paměťového místa v řídicí paměti, vybírá z něj mikroinstrukční slovo, provádí jím zvolené mikrooperace a připravuje další průběh mikroprogramu. Každému bitu mikroinstrukčního slova odpovídá binární signál na výstupu řídicí paměti. Skupiny řídicích linek připojených na tyto výstupy se logicky

dají roztrádit na tzv. pole, jejichž stav určuje funkci ovládané jednotky. Mikroinstrukce procesoru postaveného z obvodů řady 3000 sestává ze standardních polí  $F$  (7 bitů),  $AC$  (7 bitů),  $FC$  (4 bity) a z polí, jejichž rozsah a obsah určuje aplikátor. Pole  $K$  má rozsah podle počtu potřebných masek a konstant. Pole řízení  $R$  má rozsah a obsah podle potřebných systémových řídicích signálů — pro styk s pamětí a v/v.

### Symbolický zápis mikroprogramů

Pro zpřehlednění programátorské práce je nezbytné vyjadřovat mikroinstrukce symbolicky. Obvyklá symbolika standardních mikrooperací obvodu 3001, 3002 je uvedena v [1]. Navíc si uživatel musí stanovit symboliku pro přídavné řídicí pole mikroinstrukce a symboliku instrukcí. Takto si uživatel vytvoří svůj symbolický jazyk — mikroassembler, s nímž bude dále při realizaci mikroprogramů pracovat. Pro přehlednost je účelné v symbolickém zápisu mikroprogramu vypisovat jen mnemonický popis právě aktuálních polí.

Pro nás účel zavedme např. formát mikroinstrukce podle tab. 1. Význam funkcí řídicího pole definujeme v tab. 2.

Tab. 2. Příklad specifikace řídicích funkcí procesoru

Kód			Symbol	Funkce
$R_2$	$R_1$	$R_0$		
0	0	0	$RM$	čti z paměti
0	0	1	$WM$	piš do paměti
0	1	0	$RI$	čti data ze vstupního zařízení
0	1	1	$WO$	piš data do výstupního zařízení
1	0	0	$NOP$	zádná operace

Pro další popis jsme tím specifikovali formát mikroinstrukčního slova. Symbolické vyjádření mikrooperací ilustruje následující příklad.

### Příklad 1

Zadání: Popište symbolicky a zakódujte operaci: „Sečti obsah registru  $R_5$  s obsahem stradače  $AC$ , výsledek přesuň zpět do registru  $R_5$ , aritmetický přenos výsledku přenes do indikátorového registru  $C$ , skoč na následující mikroinstrukci, umístěnou v nultém řádku, 10. sloupcí“.

Řešení: podle tabulek funkcí 3001, 3002 z [1] a tab. 1, 2:

Popis

$$R_5 + AC + CI \rightarrow R_5 \dots ADR(R_5)$$

$CI = 0; CO \rightarrow C$  ..... **FFO STC**  
skok (00, 10) ..... **JZR (10)**

Paměť a v/v neaktivuj **NOP**

Symbolický popis dané operace tedy zní:  
**ADR (R5), K = 1, FFO, STC, NOP, JZR (10);**

Kód

$F = 0110101; K = 1$

$FC = 0010$

$AC = 0101010$

$R = 100$

Aby byl popis kompletní, nestačí definovat symboly mikrooperací. Pro účely umístění v paměti mikroprogramu musíme každou mikroinstrukci označit symbolickou adresou — v našem příkladu nazveme symbolicky uvažovanou operaci **ADD (R5)**. Toto označení pak slouží v našem mikroassembleru (jazyce symbolických adres mikroinstrukcí) jednak jako název operace, jednak jako symbolická adresa mikroinstrukce, kterou tuto operaci popisujeme. Pro zachování přehlednosti zápisu musíme zavést oddělovací znaménka, např.:

„;“ — oddělovač symbolické adresy  
„;“ — oddělovač symbolických popisů polí  
„;“ — označení konce zápisu jedné mikroinstrukce.

Výsledný zápis bude:

symbolicky — **ADD (R5) : ADR (R5), K = 1, FFO, STC, NOP, JZR (10);**

odpovídající mikroinstrukce strojově:

100 0101010 0010 1 0110101

### Grafický popis mikroprogramů

Pro každou požadovanou instrukci výsledného stroje navrhujeme mikroprogram. Ten popisujeme sestem symbolicky vyjádřených mikroinstrukcí. Protože části mikroprogramů mohou splývat, je vhodné, pro zachování přehledu v rozsáhlém souboru instrukcí, použít jednoduchého grafického znázornění průběhu mikroprogramů jejich vývojovým diagramem a znázornění souvislostí více mikroprogramů orientovaným grafem. Na následujících příkladech ukážeme užitečnost tohoto po-pisu.

### Příklad 2

Zadání: Navrhněte mikroprogram logických operací součinu, součtu a nonekvivalence, popsané vztahy a symboly:

**ANDD:**  $(D) \wedge (A) \rightarrow A, (P) + 1 \rightarrow P;$   
**ANDI:**  $/(D) \wedge (A) \rightarrow A, (P) + 1 \rightarrow P;$   
**IORD:**  $(D) \vee (A) \rightarrow A, (P) + 1 \rightarrow P;$   
**IORI:**  $/(D) \vee (A) \rightarrow A, (P) + 1 \rightarrow P;$   
**XORD:**  $(D) \neq (A) \rightarrow A, (P) + 1 \rightarrow P;$   
**XORI:**  $/(D) \neq (A) \rightarrow A, (P) + 1 \rightarrow P;$

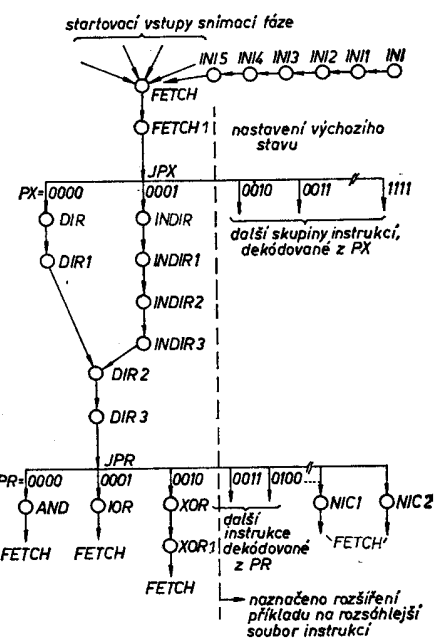
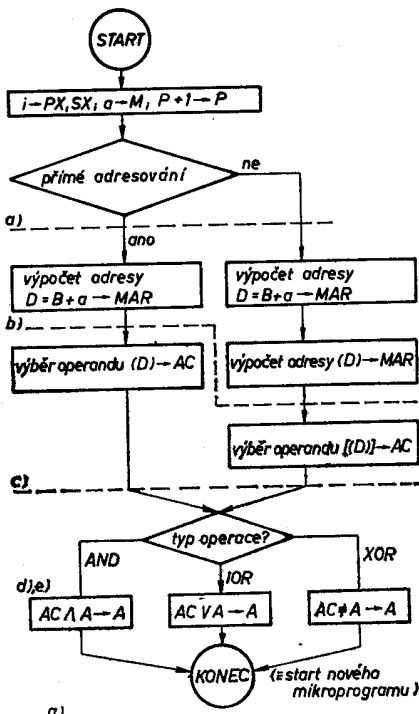
kde  $P$  je programový čítač procesoru umístěny do registru  $RO$  operační jednotky;

**A** je strádač procesoru, umístěny do registru  $R1$  operační jednotky;

**B** je registr báze adresy dat, umístěny do registru  $R2$  operační jednotky;

**D** je paměťové místo spolupracující paměti, jehož adresa je  $(B) + a$  při přímém nebo  $(B) + + a$  při nepřímém adresování;

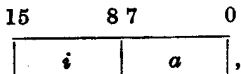
**(X)** je obsah registru  $X$  nebo paměťového místa s adresou  $X$ ;



Obr. 8. Grafická interpretace příkladu 2:  
a) vývojový diagram, b) orientovaný graf

$/(X)$  je obsah paměťového místa s adresou  $(X)$ .

Struktura procesoru podle obr. 7, formát instrukce



kde  $a$  je adresová část strojového kódu instrukce;

$i$  je operační část strojového kódu instrukce.

Řešení: příprava a provedení operací zahrnuje následující kroky:

a) snímání strojového kódu instrukce, inkrementace programového čítače;

- b) výpočet adresy paměťového místa  $D$ ;
- c) výběr operandu z paměťového místa  $D$ ;
- d) provedení operace  $(D)$  op  $(A)$ ;
- e) umístění výsledku  $(D)$  op  $(A) \rightarrow A$ .

Grafický popis mikroprogramu vývojovým diagramem viz obr. 8a. Každému kroků zde odpovídá funkční blok, který se může v konkrétních případech popsat jednou i více mikroinstrukcemi. Je zřejmé, že pro řešení skupiny mikroprogramů budou mikroprogramy splývat v přípravných krocích a v kroku umístění výsledku. Orientovaný graf skupiny instrukcí je znázorněn na obr. 8b.

Dále popíšeme mikroprogramy v jednotlivých fázích vývojového diagramu.

a) **FETCH:**  $LMI(RO), K = 0, FFI, HCZ, NOP, JMP(FETCH 1)$ ; Mikroinstrukce **FETCH** provádí přesun  $(P) \rightarrow MAR$ , adresování paměti pro čtení instrukce, inkrement programového čítače  $(P) + 1 \rightarrow P$ , skok na následující mikroinstrukci na symbolické adrese **FETCH 1**, obecný symbol **JMP** bude v navazujících etapách návrhu nahrazen konkrétní mikrooperací obvodu 3001 — např. **JZR, JCO, JCR, JCE**.

**FETCH 1:**  $LTM(T), K = OOFF, FFO, HCZ, RM, JPX (DIR, INDIR, ...)$

Mikroinstrukce **FETCH 1** provádí přesun adresové části  $a$  instrukce z paměti do registru  $T$ ,  $a = (M) \wedge K \rightarrow T$ ; (nutno zavést masku  $K = OOFF$  hexadecimálně, což zpětně ovlivní zapojení procesoru a formát mikroinstrukce). Dekóduje primární část operačního znaku rozvětvením mikroprogramu na následující mikroinstrukce **DIR, INDIR ...** (další cíle větvění zde zatím nedefinovány; celkový počet větví 16).

b) **DIR:**  $ILR(R2), K = 0, FFO, HCZ, NOP, JMP (DIR 1)$ ; Tato mikroinstrukce připravuje výpočet adresy operandu přesunem obsahu bázového registru do registru  $AC$ .  $(B) \rightarrow AC$ . Skok na **DIR 1** bude definován podrobnej v dalších fázích návrhu.

**DIR 1:**  $ALR(T), K = 1, FFO, HCZ, NOP, JMP (DIR 2)$ ; Výpočet adresy paměťového místa  $D$   $(AC) + (T) \rightarrow AC, T$ .

c) **DIR 2:**  $LMI(AC), K = 0, FFO, HCZ, NOP, JMP (DIR 3)$ ; Přesun vypočtené adresy do adresového registru, adresování paměti pro čtení operandu  $(AC) \rightarrow MAR$ .

**DIR 3:**  $LTM(AC), K = 1, FFO, HCZ, RM, JPK (AND, IOR, XOR, ...)$  Přesun obsahu paměťového místa do  $AC$ .  $(M) \rightarrow AC$ . Pro přímé adresování má význam operandu. 16-cesmenné větvení mikroprogramu podle sekundární části operačního znaku v registru  $PR$  obvodu 3001.

Fáze b), c) pro nepřímé adresování operandu jsou až po **DIR 3** totičné. Výsledný obsah  $AC$  má však význam adresy operandu a je nutno pokračovat adresováním paměti a výběrem operandu mikroinstrukcemi obsahové totožnými s **DIR 2**, **DIR 3**. Průběh nepřímého adresování bude:

**INDIR** — obsahově shodné s **DIR**

**INDIR 1** — obsahově shodné s **DIR 1**

**INDIR 2** — obsahově shodné s **DIR 2**

**INDIR 3** — obsahově shodné s **DIR 3**,

místo *JPR* nepodmíněný skok *JMP INDIR 4* — obsahově shodný s *DIR 2*  
*INDIR 5* — obsahově shodný s *DIR 3*.

Oba mikroprogramy je možno sdružit ve fázi c) — *INDIR 4, 5* s *DIR 2, 3* — viz obr. 8b. Fáze provedení operace d) a umístění výsledku e) pak pro oba způsoby adresování splývá také. To je výhodné z hlediska úspory paměťových míst v řídicí paměti.

d), e) Provedení operací *AND*, *IOR*, *XOR* a přesun výsledku do střadače *A* ( $\equiv R_1$ ).

(Zkrácený zápis — jen aktívni pole)

*AND*: *ANR(R1), JMP (FETCH)*; provádí  $(A) \wedge (AC) \rightarrow A$

*IOR*: *ORR(R1), JMP (FETCH)*; provádí  $(A) \vee (AC) \rightarrow A$

*XOR*: *XNR(R1), JMP (XOR 1)*; provádí  $(A) \oplus (AC) \rightarrow A$ , skok na *XOR 1*

*XOR 1*: *CMR(R1), JMP (FETCH)*; provádí  $(\bar{A}) \rightarrow A$ .

Závěrečná mikroinstrukce pro každou požadovanou logickou operaci procesoru zároveň provádí skok na snímací fázi nové instrukce. Je-li požadováno vzorkování přerušení, je vhodné skok *JMP (FETCH)* definovat jako *JZR (15)* pro vybavení výstupu *ISE* obvodu 3001. Mikroinstrukce *FETCH* bude umístěna v nultém řádku, 15. sloupcu řídicí paměti. Standardní mechanismus přerušení pomocí obvodu 3214 vyvolá (je-li přerušení akceptováno cestou *IA → ERA*) adresu řádku 31, kam musíme umístit startovací adresy mikroprogramů obsluhy přerušení.

#### Sestavení mikroprogramů daného instrukčního souboru

Z předchozího příkladu vyplývají obecné závěry pro vytváření mikroprogramů. Požadovaný instrukční soubor rozdělíme do skupin instrukcí s podobným průběhem mikroprogramů. V úvodní fázi dekódování instrukce rozlišíme především mody adresování a formáty instrukcí (bezprostřední, jednoadresové, skoky, přesuny a pod.). Jednotlivé instrukce každé skupiny rozlišíme dekódováním podle zapamatované části operačního znaku (*JPR*, *JRL*, *JLL* funkce).

Je vhodné nejprve průběh mikroprogramu popsat pouze v oblasti mikrooperací operační jednotky a návěsti. Mikrooperace řadiče uvést jen tam, kde se mikroprogram větví (*JPX*), nebo tam, kde se více mikroprogramů sdružuje (*JZR*). Po napsání symbolických mikroprogramů všech instrukcí budeme teprve uvažovat o obsazení řídicí paměti a doplníme příslušné mikrooperace skoků v každé mikroinstrukci.

Všechny větvící stavky musí mít v mikroprogramech východisko — to znamená doplnit ne definované instrukční kódy prázdnými operacemi. Např. z obr. 8b je vidět způsob doplnění grafu mikroprogramů z příkladu 2 o prázdné mikroinstrukce *NIC 1 ... NIC 2*. Výhodiskem z nich může být mikroprogram, který hlásí neplatný instrukční kód, nebo mikroinstrukce *FETCH*. Do ní směřují celkové skoky všech mikroprogramů, tím je zajištěna cyklická práce procesoru s možností přerušení po každém provedení kompletní instrukce programu. Sestavením orientovaného grafu a symbolického zápisu celého souboru instrukcí tato fáze návrhu končí. Jde tady použít řady dalších programova-

cích obrátků, jako využití výstupů *PR* střídače pro modifikaci makroinstrukcí, využití podmíněného hradlování hodin *OPE* pro nedestruktivní testování obsahu registrů apod. Následující příklady jsou uvedeny pouze pro ilustraci techniky mikroprogramování.

#### Mikroprogram pro nastavení výchozího stavu procesoru

##### Příklad 3

Zadání: V 16-bitovém procesoru z příkladu 2 proved vynulování obsahu registrů a čtení nulté buňky paměti, která obsahuje adresu první instrukce uživatelského programu. Příprav snímací a dekódovací cyklus této makroinstrukce.

Řešení: Popis operace:

*INICIACE*:

*CLR(RO)*  $\Rightarrow O \rightarrow RO$ ; nulování *P*

*INI 1*:

*CLR(R1)*  $\Rightarrow O \rightarrow R1$ ; nulování *A*

*OLR(R2)*  $\Rightarrow O \rightarrow R2$ ; nulování *B*

*INI 3*:

*LMI(RO)FFO*  $\Rightarrow RO \rightarrow MAR, RO \rightarrow RO, CI = 0$ ; adresování nulté buňky

*INI 4*:

*ACM(AC)RM*  $\Rightarrow M \rightarrow AC$ ; čti z paměti poč. adresu programu do *AC*

*INI 5*:

*SDR(RO), FF1*,

*JZR(15)*

$\Rightarrow AC \rightarrow RO; CI = 1$ ; počáteční adresa zavedena do *P*, skok na *FETCH*.

Vyvolání nastavovacího mikroprogramu, které by mělo proběhnout po zapnutí sítě nebo na přání operátora, úzce souvisí s technickým vybavením procesoru. Jednoduchou možnost poskytuje obvod 3001 tím, že lze zavést data ze sběrnice *PX, SX* přímo do registru adresy řídicí paměti a určit tak startovací adresu mikroprogramu.

#### Mikroprogramy s větvěním podle návěsti

Hlášení operační jednotky předávané z výstupu *ČO, RO* na vstup *FI* řadiče jsou v každém taktu zaznamenána v jednobitovém střídači *F*, jeho stav lze přepsat do indikátorových registrů *C, Z*. Má-li mikroprogram rozhodnout o dalším průběhu podle stavu registrů *F* nebo *C* nebo *Z*, musíme vzít v úvahu, zda procesor pracuje v postupném nebo překrývaném režimu — viz tabulka na obr. 5. Mikroinstrukce s podmíněným skokem *JFL, JCF, JZF* musí být umístěny tak, aby v době jejich provedení příslušný registr obsahoval platnou podmínu skoku.

##### Příklad 4

Zadání: V procesoru z příkladu 2 navrhnete mikroprogram pro instrukci

*DIJU*: *ILR(R2), FFO, JMP (DIR1)*;

*DIJU1*: *ALR(AC), FFO, JMP (TEST)*;

*INJU*: *ILR(R2), FFO, JMP (INJU1)*;

*INJU1*: *ALR(T), FFO, JMP (INJU2)*;

*INJU2*: *LMI(AC), FFO, JMP (INJU3)*;

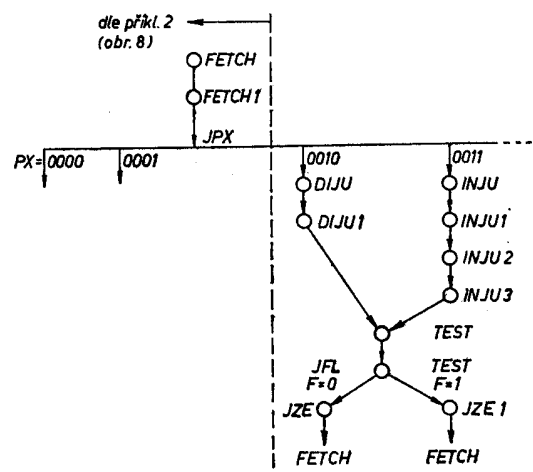
*INJU3*: *LTM(AC), FFO, JMP (TEST)*;

*TEST*: *TZR(R1), FFO, STZ, JMP (TEST1)*;

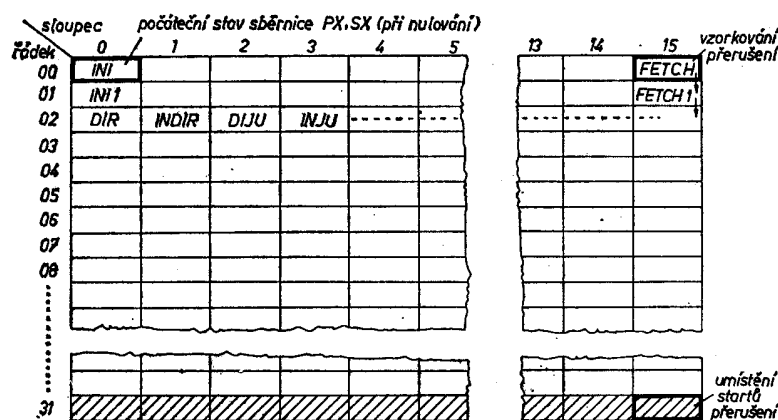
*TEST1*: *NOP JFL (JZE, JZE1)*;

*JZE*: *SDR(RO) FF1, JZR(15)*;

*JZE1*: *NOP JZR(15)*;



Obr. 9. Mikroprogram skoku podle obsahu střídače pro procesor s překrýváním



Obr. 10. Počátek rozmišťování mikroprogramů v řidiči paměti (viz obr. 8 a 9)

podmíněného skoku podle obsahu  
střádače A.

*scradece A.*  
 $(B) + a \rightarrow P$  jestli  $(A) = 0$ ; jinak  
 $(P) + 1 \rightarrow P$  (přímo adresovaný skok)  
 $!(B) + a! \rightarrow P$  jestli  $(A) = 0$ ; jinak  
 $(P) + 1 \rightarrow P$  (nepřímo adresovaný skok).

**Řešení:** následující kroky mikroprogramu — viz obr. 9

- a) snímání instrukce, inkrement  $P$ ;
  - b) výpočet adresy skoku (přímé, ne-přímé);
  - c) nedestruktivní test obsahu střádače  $A$ ;
  - d) větvění mikroprogramu podle výsledku testu, konec.

Ve fázích a), b) bude průběh mikroprogramu odpovídat fázím a), b) příkladu 2. Vypočtená adresa skoku je v registru AC. V dalších fázích se bude průběh částečně lišit pro obě konfigurace řadiče (obr. 5).

Bez překrývání:

1. takt:  
**TEST:**  $TZR(R1)$   $FF1$   $STZ$   $JFL$  ( $JZE$ ,  
 $JZE1$ ); — větvění podle stavu střá-  
dače  $F$ , zápis  $FI \rightarrow Z$

2. takt:  
**JZE:**  $SDR(RO)$   $FF1$   $HCZ$   $JZR(15)$ ;  
 $AO \rightarrow P$  pro  $(A) = (F) = 0$ , skok na  
**FETCH**

**JZE 1:**  $NOP$   $JZR(15)$ ; žádná operace  
pro  $(A) \neq 0$ ,  $F = 1$ , skok na **FETCH**.

Kdybychom použili větvení podle stavu indikátoru  $Z$ , byl by mikroprogram o jednu mikroinstrukci delší (1. takt = test + zápis do  $Z$ ; 2. takt = větvení podle  $Z$ ; 3. takt  $JZE$  nebo  $JZE 1$  podle výsledku testu).

S překrýváním:

1. takt:  
**TEST:**  $TZR(R1)$  **FFO** **STZ** **JMP**  
 $(TEST1) \rightarrow \text{test } (R1) = (A) = 0?$
  2. takt:  
**TEST 1:** **NOP** **JFL** (**JZE**, **JZE1**) —  
 větvení podle výsledku testu v střádači **F**
  3. takt:  
**JZE** nebo **JZE 1**  
 V případě větvení podle stavu **C** nebo **Z**  
 by byl mikroprogram opět delší.

### *Mikroprogramová obsluha přerušení*

Standardní realizace přerušení pomocí obvodů 3214 a 3001 je zaměřena na vektorový prioritní přerušovací systém. Přijatý požadavek přerušení způsobí v řadiči skok na startovací adresu, umístěnou ve 31. řádku řidičí paměti. Adresu sloupce je vhodné odvodit od vektoru přerušení, který si v úvodní fázi obsluhy řadič přečeze ze sběrnice  $PX$ ,  $SX$  (výstupy A obvodu 3214). Obslužné mikroprogramy se liší podle účelu obsluhované vnější jednotky, zpravidla však obsahují:

- uklízení přerušeného stavu procesoru,
  - vlastní obsluhu (přesun dat z nebo do periferie),
  - vybavění přerušeného stavu procesoru,
  - snímání nové instrukce programu.

### *Obsazení řídící paměti*

Na podkladě symbolického a grafického zápisu kompletního souboru mikroprogramů řešíme jejich umístění. Jako pomůcku k tomu použijeme rastrovou síť  $32 \times 16$  sloupců, do něhož postupně přepíšeme symbolicky zapsané mikro-

programy. Rastří představuje matici řídící paměti. Na každé paměťové místo je vhodné zapisovat při postupném zaplňování matice:

- symbolickou adresu (název) mikroinstrukce,
  - volací adresu v matici,
  - cílovou adresu v matici.

Mikroprogramy musíme doplnit spezifikací funkce 3001 v těch místech, kde je vyžadován podmíněný skok (*JFL*, *JCF*, *JZF*, *JPR*, *JLL*, *JRL*, *JPX*). Přitom si musíme poznámenat i počet možných cílových adres takového skoku a zaznamenat zvolený podmíněný skok do grafu mikroprogramu. Pokud není zadán strojový kód, volíme jej podle rozmištění dekódovaných stavů *PX*, *SX*.

Nejprve umístíme základní mikroprogramy stroje — iniciaci, snímání makroinstrukce, přerušení, protože jejich startovací adresy bývají dány zapojením procesoru. Pak rozmištějeme shluhy podmíněných skoků, souvisejících obvykle s dekódováním instrukce. Přitom rozmištování může ovlivnit zadáný strojový kód a vyžádat si provedení změn zadání (resp. předražení mapovací paměti PROM). Potom umístíme podmíněná větvení podle návěstí *JFL*, *JCF*, *JZF*. Posléze krátké a nakonec dlouhé sekvence nepodmíněných skoků, které umístíme nejsnáze v téměř zaplněné matici. Způsob obsazování ilustruje obr. 10.

Popsaným postupem se aplikátor dopracuje k zapojení a mikroprogra-

mům navrhované aplikace. Navazující etapy návrhu:

- překlad symbolicky popsaných mikroprogramů do binární formy,
  - ladění mikroprogramů a oživování procesoru,
  - tvorba aplikačních programů, jejichho ladění a oživení aplikace.

Předpokladem úspěšného návrhu je automatizace rutinních prací. K tomu je nutno použít jako nezbytné minimum programové i technické prostředky:

  - překladač symbolického jazyka (mikroassembler)
  - simulátor řídící paměti s možností rychlé výměny a oprav mikroprogramů,
  - logický analyzátor a další přístrojové vybavení.

Efektivnost práce je možno dále zvýšit použitím programových i technických simulátorů, emulátorů, vývojových systémů apod.

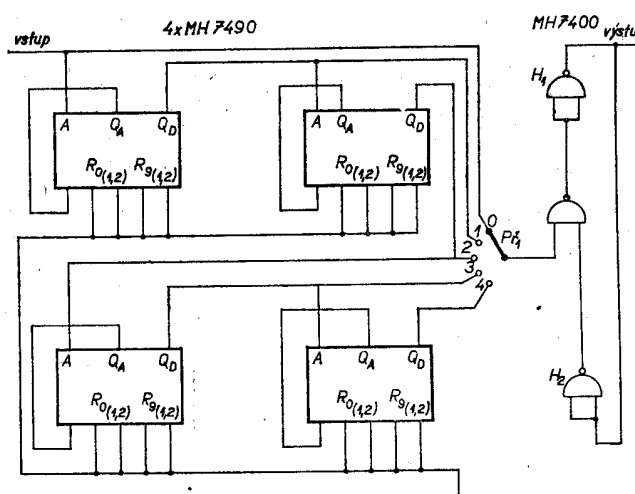
Náš článek popisuje metodiku aplikace stručně a všeobecně. Jeho cílem je inspirovat; nepodává návod na stavbu konkrétního stroje.

## LITERATURA

- [1] Gucký, T.: *Prvky mikroprocesorového systému fáze 3000*, Slezská technika
  - [2] Rattner, J., Cornel, J., Hoff, M. E.: *Bipolar LSI Computing Elemente Usher in New Era of Digital Design, Electronics*, číslo 5, 1974.
  - [3] Dědina, B.: *Zásady návrhu procesoru se stavebnici I 3000*, část I, Výzkumná správa ČSAV — ÚTIA Praha, Křen 1976.
  - [4] Kollektiv autorů: *Sborník semináře „Mikroprocesorový bipolární systém Intel 3000“*, DT ČVTS Ostrava, PČVTS TESLA Rožnov, listopad 1977.
  - [5] Series 3000 Reference Manual, Intel Corp. USA 1978.

chom nemuseli identifikovat nepravidelně rozmístěné části svislých pruhů při vysokých kmitočtech. Měřicí rozsah pokryvá oblast přibližně 200 Hz až 20 MHz, u kmitočtů do 2 kHz lze registrovat střídu impulsů logického signálu. Kmitočtoměr napájený z baterie 4,5 V zabudujeme do stíněné krabičky a signál k jedné ze zdířek anténního vstupu televizního přijímače vedeme koaxiálním kabelem. Vyšší harmonické generátoru  $H_1$ ,  $H_4$  leží ve všech kanálech I. až III. pásmu TV, takže při měření stačí naladit přijímač na nejbližší vysílač neobsazený kmitočet.

D. Němec



Obr. 1. Zapojení jednoduchého adaptéra k televiznímu přijímači

# Programové vybavení pro návrh mikropočítačů s mikroprocesorovými elementy řady MH3000

ING. ZBYNĚK CHYTIL

## Úvod

V předcházejících článcích [1], [2] byly popsány základní vlastnosti mikroprocesorových elementů řady MH3000 a postup návrhu mikropočítačů s těmito elementy. Následující článek má za úkol seznámit aplikátory mikroprocesorových elementů řady MH3000 s programovými prostředky, které podstatně usnadňují návrh mikroprogramů systému a zejména odstraňují rozsáhlé rutinní práce a kontrolují možné formální chyby návrhu mikroprogramu. Návrh zapojení celkové konfigurace systému byl podrobně diskutován a objasněn v [2]. Návrh mikroprogramu systému byl ve [2] naznačen bez uvedení možnosti využití programových prostředků.

Z citovaných článků vyplývá, že návrh mikroprogramu mikropočítačového systému je jeho nezbytnou součástí. Návrh mikroprogramu se rozpadá na několik základních kroků:

1. Stanovení souboru makroinstrukcí celého mikropočítače, optimálně odpovídajících předpokládanému aplikaciálnímu použití.
2. Vytvoření mikroprogramových kroků, popisujících mikroinstrukce, potřebné pro realizaci zadaného souboru makroinstrukcí.
3. Návrh sloučení jednotlivých mikroprogramových kroků a jejich vyjádření šípkovým vývojovým diagramem.
4. Návrh uložení mikroinstrukcí v paměti mikroprogramu a odpovídajících skokových instrukcí.
5. Překlad výsledků kroků 2 a 4 do binárního programu pro zápis do paměti mikroprogramu.
6. Uložení binárního programu do paměti mikroprogramu (obvykle reálnovaném paměti PROM).

Kroky 1 až 4 zahrnují vlastní tvůrčí práci návrháře mikropočítače. Přitom kroky 2 a 4 se musí řídit řadou pravidel, vyplývajících z vlastností mikroprocesorových elementů. Kroky 5 a 6 obsahují jen rutinní, ale značně rozsáhloučinnost, vykonávanou rovněž podle přesně definovaných pravidel. Naskytá se tedy možnost s cílem usnadnění a urychlení návrhu využít výpočetní techniku pro kontrolu formálních chyb v krocích 2 a 4 a pro celkové provedení kroků 5 a 6.

## Programové vybavení, nabízené výrobci mikroprocesorových elementů

Pro usnadnění programové části návrhu mikropočítačového systému nabízí firma INTEL programový systém „Cromis“, jehož základní vlastnosti budou popsány v dalším. O ilem použití programu „Cromis“ je usnadnit uživateli vše uvedené kroky návrhu mikroprogramu převedením rutinních činností na výpočetní techniku a maximálním

využitím mnemotechniky pro usnadnění, zpřehlednění a urychlení tvůrčích činností, jakož i detailní kontrolou možných formálních chyb návrhu a zjednodušením jejich identifikace. Implementace programu „Cromis“ je možná na libovolném počítači s délkou slova minimálně 16 bitů, dostatečnou pamětí (16 K slov operační paměti, 4 magnetopáskové jednotky) a překladačem jazyka FORTRAN IV. V dalším se nebude zabývat podrobnostmi programu „Cromis“, které jsou obsaženy ve [3], ukážeme si pouze prostředky, které „Cromis“ používá pro usnadnění práce návrháře mikropočítače.

Vlastní program „Cromis“ se rozpadá na dvě části XMAS a XMAP. XMAS slouží ke čtení vstupních údajů, vyplývajících z výše uvedených kroků 2 a 4 návrhu, k definici uživatelských polí a k deklaraci mnemotechnických označení, sloužících k usnadnění návrhu. Výstupem XMAS je pak zkонтrolovaný mikroprogram, výpis uložení mikroinstrukcí v paměti mikroprogramu, hlášení chyb ve vstupních údajích a binární data, sloužící jako vstup pro XMAP. Vzhledem k náročnosti etapy návrhu, kterou zahrnuje XMAS, lze předpokládat její několikeré opakování, ať už pro opravu formálních chyb, nebo pro neuspokojenost dosažených výsledků a z toho vyplývajících změn. To je hlavní důvod pro oddělení XMAS od XMAP, který provede převedení výsledků XMAS, oproštěných od chyb návrhu i od chyb formálních, do údajů, sloužících přímo pro naprogramování konfigurace paměti PROM, sloužících paměti mikroprogramu. Tato etapa je jako obvykle prosta chyb a provádí se jako závěrečná jen jednou.

## Zdrojová data programu „Cromis“

Zdrojový soubor dat obsahuje postupně seřazená data v jazyku FORTRAN, obsahující řídící příkazy a příkazy jazyka XMAS. Soubor se skládá z deklarační a příkazové části. Pro účelný postup výkladu popíšeme nejdříve část příkazovou a postupně objasníme i část deklarační. Ve skutečnosti však deklarační část musí předcházet část příkazovou. Ve [2] bylo objasněno rozdělení mikroinstrukčního slova na jednotlivá pole a jejich rozdělení na pole standardní a přidavná (uživatelská). Tohoto rozdělení se přidržíme i při dalším výkladu.

## Standardní pole příkazové části

V příkazové části vstupního souboru jsou mnemotechnicky popsána jednotlivá mikroinstrukční slova, přičemž nezáleží na pořadí, ve kterém jsou uvedena. Příklad popisu standartních polí (kromě pole sběrnice K) je

41 : L1 : L2 : ADR(R5) FFO STZ  
JLL(INP, OUT, DIAR, INAR)

Význam jednotlivých příkazů:

- celé číslo, jehož hodnota je v rozsahu  $0 \leq n \leq 1$  (kde  $n$  je počet slov paměti mikroprogramu) určuje adresu mikroinstrukce v paměti mikroprogramu, jak bylo určeno krokem 4 návrhu;
- za tímto číslem může (a nemusí) následovat libovolný počet návštěv, označujících danou mikroinstrukci a sloužících k odkazům ve skokových příkazech jiných mikroinstrukcí;
- za návštěvami následuje vlastní specifikace mikroinstrukčního slova. Pro jednotlivá pole lze definovat obsah a) přímým určením obsahu pole v binárním (B), oktalovém (O nebo Q), dekadickém (D nebo bez označení), nebo hexadecimálním (H) vyjádření nebo jako aritmetického výrazu (např. CPE = = 6AH FI = 01B FO = 00B — poslední znak určuje způsob vyjádření);  
b) použitím mnemotechnického označení (nazývaného mikrop), uvedeného pro jednotlivá pole v tabulkách 2, 3, a 6 článku [1]. Není-li uveden obsah pole FI, pak se automaticky nastaví FI = 11B (~ HCZ), není-li uveden obsah pole FO, nastaví se FO = 00B (~ FFO).

Způsob ad b) je častější a je také uveden ve výše uvedeném příkladu. Specifikace pole JUMP (pole následující adresy) musí jako parametry v závorce obsahovat odkaz na všechny mikroinstrukce, na něž je prováděn skok. Odkazy musí být ve stejném pořadí, v jakém jsou odpovídající mikroinstrukce uloženy v paměti mikroprogramu. Odkazovat lze buď jedním z návštěv nebo výrazem, určujícím adresu mikroinstrukce. Pro zjednodušení lze navíc místo nepodmiňených skokových mikropů JCC, JCR a JZR psát označení JMP, přitom program sám určí, o který druh skoku se jedná.

## Rozšíření příkazové části

Standardní tvar popisu mikroinstrukce lze dále rozšířit o uživatelem definovaná pole (jak uvedeme dále, obdobně se stanoví i obsah pole sběrnice K) a o řadu mnemotechnických pomůcek, zvyšujících přehlednost návrhu a usnadňujících práci návrháře.

## Deklarace nového pole

Nové pole lze v deklarační části programu definovat příkazem FIELD. Význam objasníme na příkladu:

LOAD FIELD LENGTH = 2 DEFAULT = 0  
MIOROPS (LOADA = 1 LOADB = 3)

Hodnotu nového pole lze pak v popisu mikroinstrukce

- neuvést, pak se hodnota nastaví na hodnotu, uvedenou u DEFAULT;
- uvést mikropem (např. LOADA znamená nastavení hodnoty pole LOAD na 01B — obdoba aplikace např. mikropu STZ u pole FI);
- definovat hodnotou (např. LOAD = = 10B — obdoba např. OPE = = 1001101B).

Na tomto místě je nutno se zmínit o poli sběrnice K. Jak je uvedeno

v odst. 3 článku [2], je často účelné definovat v poli  $K$  mikroinstrukce jen nezbytné konstanty a masky a ty transformovat vhodným dekódováním ke vstupům  $K$  jednotlivých řezů. Pak ovšem pole  $K$  mikroinstrukce není totožné se sběrnicí  $K$  centrální jednotky. Toto pole  $K$  se pak deklaruje podobně jako nové uživatelské pole s tím rozdílem, že nemá deklarován DEFAULT. Není-li obsah pole  $K$  definován, nastaví se v závislosti na mikropu pole CPE na vstupy  $K$  samé nuly nebo samé jedničky (viz tab. 6 v článku [1]). Aby platila tato odchylnka, je ze deklarací nutno uvést např. MASK KBUS (kde MASK je mnemooznačení pole sběrnice  $K$ ).

#### Mnemotechnická rozšíření

Příkazem IMPLY lze při použití některého mikropu definovat hodnotu i jiných polí. Např. příkaz LOADA IMPLY GATE = 0 CCTL = 1011B znamená, že při použití mikropu LOADA v popisu mikroinstrukce (což při použití výše uvedeného příkladu znamená hodnotu pole FIELD = 1) se současně pole GATE nastaví na hodnotu 0 a CCTL na 1011 binárně. Příkazem VALUE můžeme libovolnému výrazu (jazyka FORTRAN) přiřadit mnemotechnické označení, které pak používáme místo tohoto výrazu (používá se při častém opakování dlouhých výrazů nebo pro snadnou modifikovatelnost programů).

Příklad: PL VALUE A OR 10011B umožní místo výrazu (A OR 10011B) použít mnemotechnického označení PL.

Příkazem STRING je možno delší skupinu popisů jednotlivých polí nahradit mnemotechnickým označením. Např. SRAM STRING 'KB = 101101B SRA STZ' znamená, že použití v popisu mikroinstrukce SRAM(AC) má stejný účinek, jako SRA(AC) STZ KB = 101101B.

#### Rozšířené adresování

Samotný obvod I3001 umožňuje adresovat paměť mikroprogramu do 512 slov. Při potřebě většího rozsahu paměti mikroprogramu je možno v deklarační části deklarovat dodatečné pole a příkazem např. ADR ADDRESS (kde ADR je identifikátor dodatečného pole) pak specifikovat, že toto pole má být považováno za další vyšší byty následující adresy mikroprogramu. Není pak nutno specifikovat obsah tohoto pole, ten se automaticky vytvoří obdobně, jako obsah standardního pole následující adresy.

#### Priority určení obsahu pole

Jak bylo výše objasněno, lze obsah pole určit více způsoby. Přitom jednotlivé způsoby mají tuto prioritu (od nejvyšší k nejnižší):

- Explicitní vyjádření nebo stanovení mikropem.
- Mikrop definovaný v IMPLY.
- V případě sběrnice  $K$  stanovení, vyplývající z mikropu CPE.
- Hodnota, uvedená v deklaraci FIELD za DEFAULT.

#### Výstupy programu „Cromis“

První etapa zpracování dodává 4 výstupy:

#### Výpis zdrojových dat a binárního překladu

Tento výpis obsahuje vstupní data tak, jak byla zadána, přičemž každý řádek záznamu je průběžně číslován. Současně je u každého řádku vytištěn binární překlad seskupený do standardních polí CPE, FI, FO, JUMP a uživatelských polí, definovaných v deklarační části programu. Příklad výpisu je v tab. 1. Je možno rovněž realizovat

výstupu tak, že pásku lze přímo použít jako vstup zařízení pro programování potřebných pamětí PROM.

#### Programové vybavení, využívající jednodušší výpočetní techniku

Pro řadu aplikačních použití mikroprocesorových elementů řady I3000 nejsou využity všechny výhody, které program „Cromis“ poskytuje. Do po-

Tab. 1. Příklad části výpisu zdrojových dat a binárního překladu

<pre> 109      MASK FIELD LENGTH = 9 DEFAULT = 0; 110      MASK KBUS; 111      MEM FIELD LENGTH = 3 DEFAULT = 0; 112      140: M12: ILR(R2) FI = 0B FO = 0B MASK = 000H JMP(GST);         (0008CH) 00000010 00 00 0100110 000000000 000 113      6: GST: ADR(R9) MASK = 1FFH JLL (WD1, WI1, BD1, BI1);         (0006H) 0111001 00 11 1101111 111111111 000           .           .           .           . </pre>	
---	--

výpis jen zdrojových dat nebo jen binárního překladu.

#### Křížový odkazový slovník

Slovník obsahuje abecední seznam všech návěstí a pořadových čísel záznamů, kde se příslušné návěsti vyskytují. Pořadové číslo záznamu, kde je návěst definováno, je v závorkách.

#### Obraz paměti mikroprogramu

Obraz paměti mikroprogramu znázorňuje graficky obsah paměti mikroprogramu, vytvořený zpracováním vstupních dat. Obraz je vytvořen maticí buněk o 16 sloupcích a tolka řádcích, aby zahrnul celou paměť mikroprogramu. V každé buňce je pak uveden mnemokód skoku v odpovídající mikroinstrukci, hexadecimální adresa 1. cíle skoku, pořadové číslo záznamu ve výpisu programu a počet buněk, ze kterých je proveden skok do dané buňky. Celkový tvar obrazu je velmi blízký výpisu, který je popsán dále jako výstup zjednodušeného programu. Pro jeho rozsáhlost jej neuvedeme zvláště.

#### Zdrojový soubor pro XMAP

Tento soubor obsahuje jen binární překlad a informace, nezbytné pro oddělení jednotlivých částí. Slouží pouze jako mezilehlé médium mezi dvěma etapami zpracování.

#### Hlášení chyb

Kromě výše uvedených výpisů jsou ve výpisu zdrojového souboru a binárního překladu vypsány chyby, nalezené ve zdrojovém souboru, zahrnující zejména formální chyby a nesprávně nebo nerealizovatelně zadané skoky v mikroprogramu. Je vždy uvedeno číslo chyby, podle kterého lze podrobně určit druh chyby a je specifikováno místo programu, kde se chyba vyskytuje.

#### Výstup pro programování paměti PROM

Závěrečná etapa zpracování dodává jako nejdůležitější výsledek děrnou pásku nebo jiné médium obsahující data pro přímé programování paměti PROM paměti mikroprogramu. Úvodními příkazy jazyka XMAP lze nastavit formát

před vystupují některé nevýhody, spočívající v práci s počítačem, který nevybává na některých pracovištích s dostatečnou operativností přístupný. V TESLA Rožnov n. p. byla jako zlepšovací návrh ZN 546/78 přijata zjednodušená varianta programu „Cromis“, aplikovatelná na stolním kalkulačoru HP-9825. Omezení programu nejsou pro běžné aplikace podstatná a přitom je možno plně využít operativnosti kalkulačoru, který je na řadě pracovišť k dispozici. V dalším pojednávám základní vlastnosti tohoto programu, popis vstupů a výstupů, a srovnání s programem „Cromis“.

#### Základní vlastnosti programu

Potřebné technické vybavení: kalkulačor HP-9825 s pamětí 24K bitů; vestavěnými ROM: string, general IO, extended IO, advanced programming; připojený snímač a děrovač děrné pásky a tiskárna.

Maximální velikost paměti mikroprogramu 256 slov.

#### Pole mikroinstrukčního slova:

JUMP 7 bitů (+1 bit pro externí definici skoku z hlavní paměti mikropočítáče aplikací modifikačního vstupu LD)

FI	2 byty
FO	2 byty
CPE	7 bitů (+1 bit pro hradlování hodin centrální jednotky pro nedestruktivní testování registrů)

uživatelské pole (dále řídicí sběrnice) 1 až 8 bitů

K	1 až 8 bitů (pro max. 4 vstupy s možností rozšíření na 8 vstupů).
---	---

#### Vstupy a výstupy programu

Na obr. 1 je znázorněn průběh činnosti při zpracování zadaného mikroprogramu. Vstupy programu jsou označeny číslicemi 1 až 3, výstupy písmeny A až H. První fází je definice použitých mnemotechnických zkratek, která odpovídá deklarační části „Cromis“. Zadává se:

1. Mnemotechnické označení registrů centrální jednotky dvěma libovolnými znaky. Při dalších krocích lze pak užívat buď označení standardní

- (R0 až R9, AC, T), nebo zadané mnemotechnické označení.
2. Mnemotechnické označení (až 6 znaků) kombinace kódů mikroinstrukce a instrukce příznaku (vstupní nebo výstupní) — zjednodušená deklarace STRING.
  3. Definice vstupu pole K (max. 4 vstupy) a odpovídajícího výstupu na 8 vstupech sběrnice K.
  4. Mnemotechnické označení (4 znaky) řídicího pole a odpovídající binární kombinace. Pole lze rozdělit až na 4 nezávislá pole, jimž odpovídají znaky nebo skupiny znaků v mnemotechnickém označení.

Poslední bod objasníme blíže. Příklad je v tab. 2. První řádek přiřazuje

Tab. 2. Příklad definice řídicí sběrnice

xxAW	xx0110
xxBC	xx1001
xAXX	x0xxxx
YXXX	1xxxxx
ZXXX	0xxxxx

skupinu AW ve 3. a 4. znaku binární hodnotě 0110 v 3. až 0. bitu. Jakmile jednou bylo toto přiřazení provedeno, musí v dalším výzdu skupina složená ze 3. a 4. znaku odpovídat 3. až 0. bitu. Nepoužité znaky a bity nahrazujeme znakem x. Obdobně 3. řádek přiřazuje 2. znak 4. bitu a čtvrtý a pátý řádek 1. znak 5. bitu. Zadání v programu např. ZAAW pak odpovídá binární kombinaci 000110. Současně lze zadat i binární kombinaci (obvykle nejčastěji se vyskytující), která se nastaví automaticky, není-li kód řídicí sběrnice zadán.

Zadání je vyděrováno na děrnou pásku jako vstup ① Tato děrná páska se programem kontroluje, zda neobsahuje formální chyby. Nejsou-li žádné chyby, uloží se zadání na magnetickou pásku (výstup A) a současně pro kontrolu vypíše (výstup B).

Zadání vlastního programu (vstup 2), které odpovídá specifikační části programu „Cromis“ (příklad v tab. 3),

Tab. 3. Příklad zadání mikroprogramu

ARITMETICKÉ A LOGICKÉ OPERACE = 2. VARIANTA									
FETCH: LMI(RO)	FF1;								
F1: NOP(RO)	RXDI;								
F2: LMM(AC)	RPDI;								
LAR: ALR(T);									
LMI(AC);									
LTM(T)	RDDI;								
SHR: SHRT(T)	STC;								
SHL: MOVE(T);									
ADDE(T)	STC;								
ROR: SRA(T)									
FFC STC;									
NIC: NOP(RO);									
CSR: ILR(R5);									
SDR(R6)	FF1;								
ILR(R4);									
SDR(R5)	FF1;								
IRL(R3);									

se píše ve formě blízké zadání „Cromis“. Jako první může být uveden libovolný text (označení programu). Poté následují jednotlivá slova mikroprogramu, počínající návěstím. Není-li návěstí uvedeno (např. u řetězů nepodmíněných skoků — v tab. 3 např. za návěstím LAR), překladač doplní poslední zadané návěstí a pořadové číslo od posledné zadaného návěstí (za LAR tedy následuje LAR 1, LAR 2). V příkladu u návěsti SHR, SHL je uvedeno použití řetězových kombinací. Není-li uvedena instrukce příznaku, dosadí se při překladu, stejně jako v „Cromis“, HCZ resp. FFO, u pole K samé 0 nebo

samé 1 podle mikroinstrukce CPE, u řídicí sběrnice zadaná hodnota. Celý program je zakončen znakem; na samostatném řádku. Zadání je opět děrováno do děrné pásky. Požadujeme-li v příslušné instrukci blokování hodin centrální jednotky (viz poznámka u pole CPE), doplníme kód mikroinstrukce CPE o znak P (např. místo TZR (T) píšeme TZRP (T)).

Následující zpracování kontrolouje formální chyby, séradi zadání do unifikované formy a řetězové kombinace nahradí standardními kódovými označeními. Jsou-li v programu chyby, vypíše se celý program, chybná místa jsou označena znakem \* a současně se na malé tiskárnce kalkulátoru vypíše bližší specifikace chyb (výstup C).

Je-li zadání prosto formálních chyb, přejde kalkulátor k dalšímu zpracování. Kalkulátor si vyžádá vstup 3, což je děrná páska, obsahující zadání přiřazení slov mikroprogramu do paměti, mikroprogramu a zadání skoků (výstup 3). Toto zadání obsahuje v libovolném pořadí v každém řádku návěstí slova, uloženého v jedné buňce paměti, hexadecimální adresu této buňky, hexadecimální adresu prvního cíle skoku, kód skoku (místo nepodmíněných skoků JZR, JCC, JCR se použije jednotný kód JMP) a v závorce návěstí všech buněk, na něž je proveden skok, přítom pořadí musí odpovídat pořadí uložení v paměti). Požadujeme-li externí definici skoku (viz pozn. u pole JUMP), použijeme kód JDI a neuvedeme žádny cíl skoku. Příklad takového zadání je v tab. 4.

Následující zpracování kontroluje opět formální chyby, zejména realizovatelnost skoků tak, jak byly zadány a vypíše chyby včetně podrobné identifikace (výstup D) a výpis mapy paměti (zadání obsahující chybu nevypíše).

Část výpisu mapy paměti je v tab. 5.

Výpis je tvořen maticí  $16 \times 16$  buněk, číslovaných hexadecimálně 0 až F v obou směrech. Na výpisu jsou vyznačeny oblasti, kam lze skákat podmíněnými skoky. V každé buňce je pak následující informace:

1. řádek — návěstí uloženého slova;
2. řádek — kód skoku uložené instrukce;
3. řádek — hexadecimální adresa buňky, ze které byl proveden skok na danou buňku. Je-li takových skoků více, je uveden znak \*;
- hexadecimální adresa 1. cíle, na který je proveden skok z dané buňky. Pro kód JDI, když je skok definován vnějším programem, je uveden znak \*;
4. řádek — pořadové číslo slova mikroprogramu v zadání programu.

Jako pokračování výpisu se vypíše přehled všech definic skoků. Od zadání 3 se liší jen tím, že se nevypíše adresa 1. cíle a kód JMP je přeložen do příslušných konkrétních kódů.

V dalším program přeloží celé zadání (výstup 2 a 3) do binární formy a vypíše zadání programu v uspořádaném tvaru současně s binárním výpisem obsazení jednotlivých polí slova mikroinstrukce (výstup F). Část tohoto výpisu je jako příklad v tab. 6. Odleva počínaje je uvedeno pořadové číslo slova, návěstí, mnemotechnické vyjádření programovaných mikroinstrukcí, kdežto skoku, hexadecimální adresa uložení slova v paměti mikroprogramu, binární obsah polí slova (A — adresa v paměti; F — pole CPE; — pole FI, FO, K; R — řídicí sběrnice; M — pole JMP). Současně se binární překlad uloží na magnetickou pásku (výstup 6).

Poslední etapa zpracování pak z magnetické pásky vyděruje děrnou pásku

Tab. 4. Příklad zadání přiřazení v paměti mikroprogramu

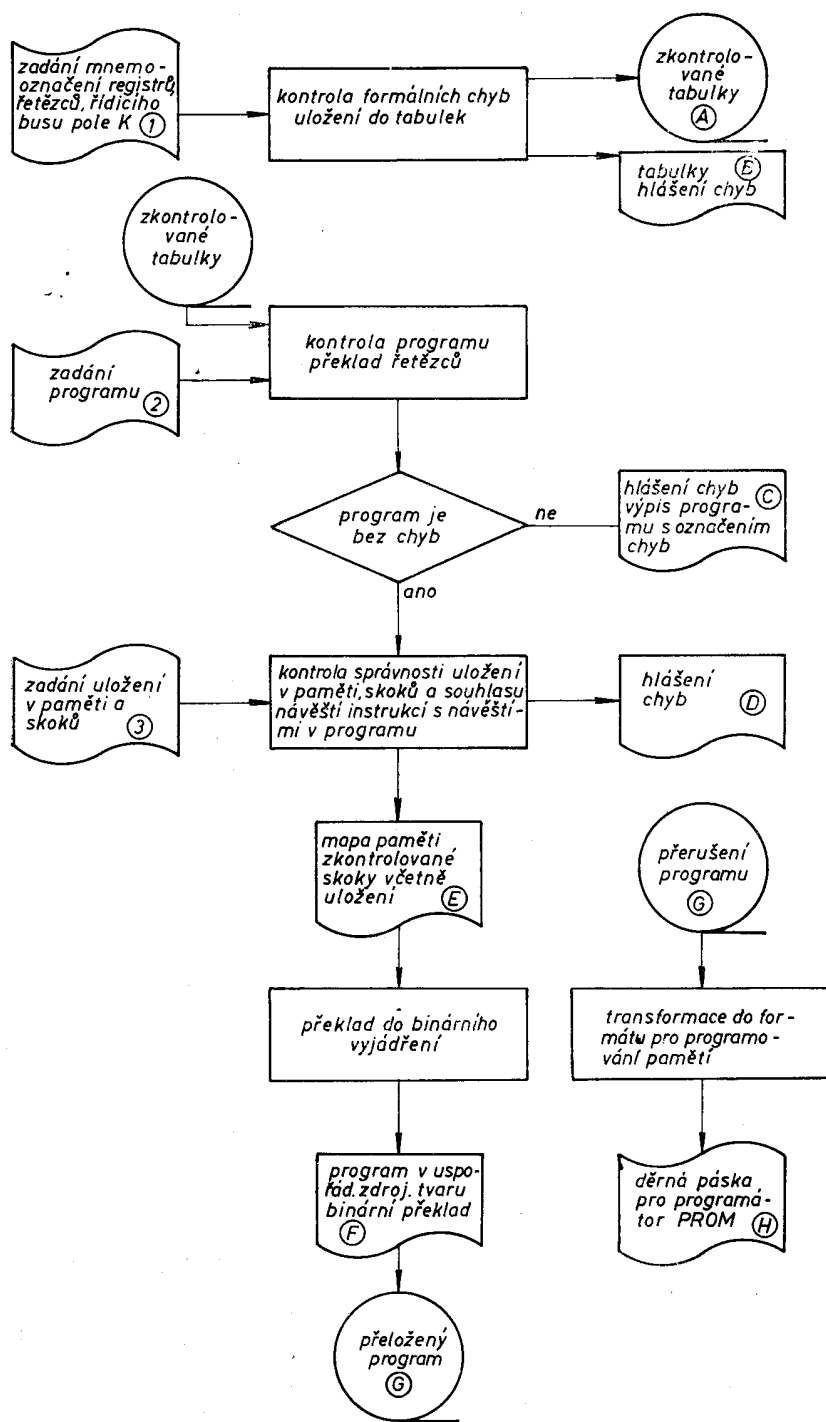
DIAR	20	60	JPR(NIC6, LDA, LAR, LDC, ADD, AND, IOR, XOR, NEG, SHRO,						
			NIC1, NIC2, NIC3, NIC4, NIC5, STA)						
INAR1	41	60	JPR(NIC6, LDA, LAR, LDC, ADD, AND, IOR, XOR, NEG, SHRO,						
			NIC1, NIC2, NIC3, NIC4, NIC5, STA)						
INJU2	48	50	JPR(JUN, JAS, JZE, JPL, JEV, JCZ, ISZ, DSZ, CSR, RSR, INP, RSA,						
			NIC7, NIC8, NIC9, OUT)						
INAR	21	41	JMP(INAR1)						
	29	49	JMP(INJU1)						
INJU1	49	48	JMP(INJU2)						
	28	48	JMP(INJU2)						
INP	5A	4A	JMP(INP1)						
	4A	7A	JFL(NIC15, INP2)						
NIC15	7A	5A	JMP(INP)						
INP2	7B	7C	JMP(INP3)						
	7C	1A	JFL(NIC14, INP4)						
SHRO	69	79	JMP(SHRO1)						
NIC14	1A	5A	JMP(INP)						

Tab. 5. Příklad části výpisu mapy uložení mikroprogramu v paměti mikroprocesoru

ARITMETICKÉ A LOGICKÉ OPERACE BIMBO — 2. VARIANTA — 3. NÁVRH 15/9/78:									
+ JCF, JFL, JZF + — JLL — +									
0	1	2	3	4	5	6	7		
INI 60 88	LAR1 JCR 40 OF 7	LAR2 JZR 41 12 10			JUM * 52 45			SZB JCC * 48 17	
STA1 JZR 40 OF 7					CSR6 JOR 15 16 59	CSR5 JCR 1D 14 58	CSR7 JCC 14 26 60	SZB1 JFL 07 22 49	
INI9 JCC 21 70 97	INI8 JCR 81 20 96	SZB2 JZR 17 OF 50	SZB3 JZR 17 OF 51	CSR13 JZR 25 OF 66	CSR12 JCR 28 24 65	CSR8 JCR 16 27 61	CSR9 JCR 26 29 62		
DIAR JPR 2F 40 4	INAR JPR 2F 40 5	T1 JZR 2F OF 102	T2 JZR 2F OF 103	T3 JZR 2F OF 104	T4 JZR 2F OF 105	T5 JZD * OF 106	T6 JZR 2F OF 107		

Tab. 6. Úsek výpisu zkontořovaného mikroprogramu a jeho binární funkce

30 ROR :SRA (T) STC FFC	JCR (7B) 7E 0111110A	0000III0F	0110II1IK	0010II10IR	001110IIM
31 NIC :NOP (RO)	JZR (OF) 4B 0100I01IA	01100000F	0011111IK	0010II01IR	00101111M
32 N1 :NOP (RO)	JZR (OF) 4D 0100I01IA	01100000F	0011111IK	0010II01IR	00101111M
33 N2 :NOP (RO)	JZR (OF) 4E 0100I110A	01100000F	0011111IK	0010II01IR	00101111M
34 N3 :NOP (RO)	JZR (OF) 4F 0100I111A	01100000F	0011111IK	0010II01IR	00101111M
35 DIJU :SDR (R8)	JPR (50) 38 00111000A	0010I000F	1110000K	0010II01IR	00101111M
36 INJU :LMM (AC)	RDDI JCR (38) 39 00111001A	0001II01IF	0011111IK	00111001IR	0010000M
37 JUN :SDR (RO)	FF1 RDDI JZR (OF) 52 01010010A	00101000F	11110000K	0010II01IR	00111111M
38 JAS :SDR (RO)	FF1 HLDI JZR (OF) 5B 01011011A	00101000F	11110000K	00111110R	I00101111M
39 JCZ :MOP (RO)	JCF (52) 51 01010001A	01100000F	0011111IK	0010II01IR	01010111M
40 ROTA :LTM (AC)	RDDI JZR (OF) 4A 01001010A	01101011F	00111000K	00111001IR	00101111M
41 SHLE :LTM (AC)	RDDI JZR (OF) 49 01001011A	01101011F	00111000K	00111001IR	00101111M
42 JZE :TZR (T)	JZR (04) 54 01010100A	01011100F	00111000K	0010II01IR	00101010M
43 JPL :TZRP (T)	K 80 JZR (04) 55 01010101A	11011100F	00111111K	0010II01IR	00101010M
44 JEV :TZRP (T)	K 01 JZR (04) 56 01010110A	11011100F	00111111K	0010II01IR	00101010M
45 JUM :NOP (RO)	JFL (52) 04 00000100A	01100000F	00111111K	0010II01IR	01010000M
46 N4 :NOP (RO)	JZR (OF) 53 01010111A	01100000F	00111111K	0010II01IR	00101111M
47 ISZ :ACM (AC)	FF1 RDDI JZR (07) 57 01010111A	00001011F	1111111K	00111001IR	00101111M
48 SZB :TZA (AC)	WDKI JCC (17) 07 00000111A	01011111F	00111000K	00100001IR	00000001M
49 SZB1 :NOP (RO)	JFL (22) 17 00010011A	01100000F	00111111K	0010II01IR	01000010M
50 SZB2 :ILR (RO)	FF1 JZR (OF) 22 00100010A	00000000F	1111111K	0010II01IR	00101111M
51 SZB3 :NOP (RO)	JZR (OF) 23 00100011A	01100000F	00111111K	0010II01IR	00101111M
52 DSZ :LDI (AC)	RDDM JZR(07) 58 01011000A	00101111F	00110000K	00111001IR	00101011M
53 CSR :ILR (R5)	JCC (19) 59 01011001A	00000101F	00111111K	00101101IR	00000001M



Obr. 1. Průběh činností při zpracování mikroprogramu na HP-9825

která slouží k přímému zavedení celého mikroprogramu do programátoru paměti PROM nebo při vývojových pracích do paměti RAM pro ověření navrženého programu. Lze přitom vytvořit děrnou pásku pro celý program nebo i pro libovolné úseky (potřebné zvláště při ověřovacích a vývojových pracích).

#### Srovnání programu pro HP-9825 a programu „Cromis“

Nejzávažnějším omezením programu pro HP-9825 je jeho omezení na paměť mikroprogramu do 256 slov. Pro úvodní práce a pro relativně jednodušší aplikace však toto omezení není příliš závažné. Firma Intel ve svých aplikačních materiálech uvádí příklad návrhu mikropočítače s dosti rozsáhlým souborem makroinstrukcí (36 registrových, 24 skokových, 6 instrukcí subrutin, 4 bitové, 4 vstupní-výstupní, 3 speciální), který je realizován pamětí do 256 slov. Obdobné jsou i zkušenosti z prvních prací, realizovaných v TESLA Rožnov. Kromě toho možnosti kalkulačky HP-9825 nejsou ještě vyvinutým programem vyčerpány.

V srpnu 1979 byl TESLA Rožnov přihlášen ZN 502/79, jehož předmětem je program pro HP 9825, umožňující zpracování mikroprogramu do 2048 mikroinstrukčních slov, který obsahuje prakticky všechny možnosti programu ČROMIS.

Některé příkazy programu „Cromis“, jako úplná aplikace STRINGU, dále VALUE, IMPLY, možnost psát program jak s použitím návěstí, tak adres v libovolném tvaru (dekadicky, binárně, hexadecimálně), dále tatáž možnost při zadání obsahu pole usnadňují programování, zdaleka ne však v takovém rozsahu, aby je bylo nutno zařadit do zjednodušeného programu. Praktické zkušenosti ukázaly, alespoň v úvodních a relativně jednodušších aplikacích, že potřeba takových rozsáhlých možností je velmi vzácná a lze ji snadno obejít ponechanými jednoduššími prostředky.

Rovněž jsme nepoužili univerzální možnost zadání formátu konečného výsledku na výstupní děrné páse pro programátor PROM. Uživatel má obvykle k dispozici velmi úzký sortiment zařízení pro programování, spíše však jen jedno. V tom případě je daleko efektivnější napsat jednoúčelový program pro přepis do výstupní děrné pásky. V našem případě je tento program dlouhý 12 řádek programu pro HP-9825 a jeho návrh si vyžadá mini-

## MEZINÁRODNÍ VÝSTAVA TELECOM '79

Třetí výstava sdělovací techniky Telecom, která se z podnětu Mezinárodní telekomunikační unie (ITU) konala ve dnech 20. až 26. září 1979 v Ženevě, přinesla díky účasti předních světových výrobčů mnoho zajímavých dokladů o dnešní pozoruhodné vyspělosti a trendech vývoje tohoto oboru. Exponáty vystavované v Ženevě byly důkazem neustálé se prohlubující elektronizace nejrůznějších telekomunikačních přístrojů a digitalizace používaných přenosových technik, i toho, že tyto dva trendy již dnes plně ovlivnily koncepcí sdělovacích systémů špičkových výrobčů.

Např. GEC Telecommunications Lim. of England, která velmi úzce spolupracuje s britskou poštovní správou při přípravě na zavedení tzv. systému X (plně elektronické telefonní ústředny, číslicový přenos), předvedla na výstavě Telecom 1979 nové mikrovlnné radioreléové světlovodové spoje a hierarchický soubor systémů PCM s 30 kanály s rychlosnostmi 8, 34 a 140 Mbitů/s. Dvě pobočkové ústřed-

ny, využívající digitálního principu při spojování hovorů a programového řízení, byly přiznačné pro funkční bohatost dnešních číslicových komunikačních soustav (např. jde o zkrácenou volbu, registraci příchozích a odchozích volání, automatickou signalizaci obsazené linky a disperze → přesměrování příchozích volání na jiného účastníka, pokud se volaný nehlásí). Velmi perspektivní soustavou je nesporně Viewdata, umožňující zobrazit na obrazovce bytového televizoru libovolnou stránku z informačního magazínu, uloženého v paměti ústředního počítače. Jak ukázaly kancelářské i veřejné telefonní přístroje této firmy, přineslo řadu nových vlastností především zavedení mikroprocesorového řízení.

Těžištěm stánku společnosti Marconi Communication Systems Lim. byl její nový 30kanálový systém PCM, jehož výhodou je služební se stávající britskou telefonní soustavou i připravovaným systémem X. Velmi dobrou pověst si tento výrobce získal zejména v oboru mikrovlnných spojů, pracujících na základě rozptylu v troposféře (soustavy umožňující spojení s těžaři ropy v Severním moři) a pozemských stanic, udržujících spojení s telekomunikačními družicemi (v současné době je to dodávka zařízení pro jednu stanici západoevropského systému OTS s přenosem v pásmech 11/14 GHz a pro dvě stanice, které zprostředkují spojení s družicemi nové řady Intelsat). Pozornost v Ženevě budily i vysílače s výkonom 1 a 10 kW a nejrůznější telekomunikační přístroje této firmy.

Velkého pokroku bylo, jak ukázaly exponáty dalšího závodu koncernu Marconi-Marconi Instruments Lim., v poslední době dosaženo i v oblasti měřicí techniky. Nová, automaticky pracující zařízení, umožňují provádět rychlou a přitom kompletní diagnostiku analogových i číslicových sdělovacích soustav a přispívají tak ke zvýšení jejich spolehlivosti.

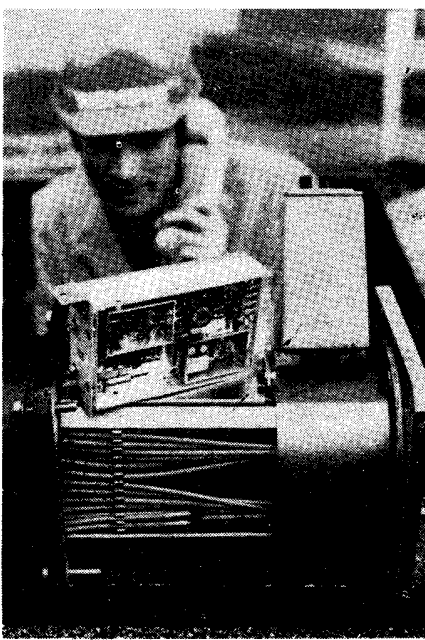
Zaslouženou pozornost budily na výstavě Telecom 1979 i výrobky firmy Edystone Radio Lim., která je rovněž součástí stejněho koncernu a specializuje se na komunikační přijímače, přístroje pro měření šumu v rozsahu 10 kHz až 1000 MHz a různá doplňková zařízení. Zejména to byl měřicí systém 40A, který splňuje náročné požadavky britské pošty a Zvláštního mezinárodního výboru pro vysokofrekvenční interference (CISPR).

Výběr ze svého rozsáhlého výrobního sortimentu, sahajícího od kapesních rádiostanic až po vysoké výkonné vysílače, od směrových spojů po družicové opakovače a od solárních generátorů po kompletní elektrické vybavení lokomotiv, lodí apod., předvedla v Ženevě firma AEG-Telefunken. Z jejich posledních úspěchů lze uvést např. přístrojovou techniku pro první číslicový směrový spoj instalovaný Spolkovou poštou NSR a krátkovlnné vysílače s výkonom 600 kW a středovlnné s výkonom 500 kW, pracující s modulací délka impulsu. AEG-Telefunken je zatím monopolním dodavatelem těchto typů vysílačů, které mají ve srovnání s běžnými vysílači mnohem nižší energetické nároky a amortizují se proto již za několik málo let.

Stejný výrobce je úspěšný např. i v oboru komunikačních přijímačů pro pošty, zpravodajské agentury apod. Nejcharakterističtějším technickým znakem těchto zařízení (řada E 1500) je rozsah 10 kHz

až 30 MHz a rozlišení syntezátoru 10 Hz. K novinkám předvedeným poprvé na zmíněné výstavě patřily i dva směrové spoje. První umožňuje přenos 960 popř. 1260 telefonních kanálů nebo televizního signálu se zvukovým doprovodem, druhý je číslicový spoj střední kapacity (1 televizní a 5 zvukových kanálů). Velký zájem návštěvníků budila v Ženevě i telekomunikační zařízení z přenosového systému družice OTS-1, která po nezadáreném startu bez úhony přežila její pád z výše asi 20 km. Přístroje fungují i nadále a nejsou nich vidět deformace ani jiné změny.

Důležitné zastoupení měla na letošní výstavě Telecom i firma Siemens, která ukázala různé verze elektronického spojovacího systému s počítačovým řízením EWS a pobočkových ústředen řízených mikroprocesorem (EMS), nový systém pro měření na účastnických vedeních SULIM, stolní a mincovní telefonní přístroje s řadou nových funkcí i mnoha jiných zařízení. U kabelových přenosových systémů se, stejně jako u směrových spojů, velmi důrazně prosazuje číslicová technika přenosu. Firma Siemens rozšířila



Obr. 1. Kabelový regenerační zesilovač



Obr. 2. Bezšňurový telefonní přístroj

(Dokončení ze str. 448)

mum práce (1 až 3 hodiny včetně odladění).

Článek popisuje vlastnosti programových prostředků pro urychlení a kontrolu návrhu mikroprogramu mikropočítačů, sestavených z mikroprocesorových elementů řady Intel I3000. Úvodem popisuje vlastnosti programu „Cromis“, nabízeného firmou Intel. Dále popisuje základní vlastnosti zjednodušené ověřené varianty, implantovatelné na stolním kalkulačoru HP-9825A.

### LITERATURA

- [1] Gučký, T., ing.: *Prvky mikroprocesorového systému řady 3000*, Sdělovací technika 8/1979, str. 279.
- [2] Gučký, T., ing.: *Aplikace mikroprocesorových prvků řady 3000*, Sdělovací technika 10/1979, str. 362.
- [3] Preliminary Specification Intel Series 3000 Cross Microprogramming System CROMIS, Revision A

v nedávné době svůj výrobní program natolik, že může pro regionální i celostátní sítě nabídnout soustavy pracující s různým tokem informací v několika frekvenčních pásmech, mj. i radioreléové zařízení pro číslicový přenos v regionálních sítích.

Technologický rozvoj vytvořil v posledních letech předpoklady i pro výrobu různě výkonných soustav, umožňujících přenos informací světovody. Siemens v tomto oboru úspěšně realizoval např. optický systém pro přenos 480 telefonních hovorů, jehož součástí je i regenerační zesilovač, pracující rychlosťí 34 Mbitů/s. Tento přístroj v provedení pro uložení pod zemským povrchem je znázorněn na obr. 1.

K nejzajímavějším novinkám, předvedeným touto západoněmeckou firmou poprvé v Ženevě, patřil nesporně bezšňurový ředitelský telefonní přístroj, u něhož je pro dvoukanálový přenos řídicích signálů a vlastního hovoru mezi stacionárním dílem, instalovaným na zdi, a leh-